

ЕЖЕМЕСЯЧНЫЙ
НАУЧНО-ТЕХНИЧЕСКИЙ
И ПРОИЗВОДСТВЕННЫЙ
ЖУРНАЛ
ГОСУДАРСТВЕННОЙ
АССОЦИАЦИИ
"СОЮЗСТРОЙМАТЕРИАЛОВ",
РОССИЙСКОГО
ГОСУДАРСТВЕННОГО
КОНЦЕРНА "РОССТРОМ"

Строительные материалы

№ 1

(445)

январь

1992

Издается с января 1955 г.

Содержание

СОВЕРШЕНСТВОВАНИЕ ТЕХНОЛОГИИ ПРОИЗВОДСТВА

ДОЛГОПОЛОВ В. М., КУРБАЦКИЙ М. Н., ТАРАБРИНА Л. А., САФ-
РОНОВА Л. В., ЧЕЧУЛИНА Т. В. Производство известково-шлако-
вого цемента на основе отходов металлургического предприятия 3

ОБОРУДОВАНИЕ

БАРАБАШ И. В., СОЛОМАТОВ В. И. Интенсивная раздельная тех-
нология бетонов на наполненном известковом вяжущем 4

С 3-й МЕЖДУНАРОДНОЙ ВЫСТАВКОЙ-ЯРМАРКИ «СТРОЙИНДУСТРИЯ-91»

КУЗНЕЦОВ С. Н., АНУЧИН С. М., ЧИЖАТКИН В. И., ЧЕРНОВ В. П.
Реконструкция коротких автоклавов 6

ПЕРШИН Г. Д. Оптимизация силового режима работы канатно-ал-
мазных пил при добыче природного камня 7

РЕЗУЛЬТАТЫ НАУЧНЫХ ИССЛЕДОВАНИЙ

ШКАРЕДНАЯ С. А. Для асбестовой и других отраслей промыш-
ленности 10

Теплоизоляционные материалы 11
Продукция Донецкого завода изоляционных материалов 13

ЗАРУБЕЖНАЯ ТЕХНИКА ИНФОРМАЦИЯ

КАСИМОВ И. К., БАХРИЕВ Н. Ф., ТУЛАГАНОВ А. А., ХАСАНО-
ВА М. К. Повышение качества кладочных растворов для сейсмо-
стойкого строительства 18

СТРЕМОВСКИЙ Р. А., БОЙКО В. Ф., КОСЯЧЕНКО А. Г. Анализ ги-
стограмм глин, песков, отсевов 21

ФУРМАН А. И. Производство пластмассовых профилей для окон-
ных переплетов 23
МЧЕДЛОВ-ПЕТРОСЯН О. П. 11-я Международная конференция по
строительным материалам и силикатам («ИБАУСИЛ»), 1991 г., Вей-
мар (ФРГ) 27



МОСКВА
СТРОЙИЗДАТ

© Страйиздат, журнал «Строительные материалы», 1992

С чего начинаем 1992 год

В минувшем году в журнале было опубликовано более 200 статей и информационных сообщений, среди них 100 рекламных материалов, несколько докладов, объявлений, фотографий.

Основные тематические разделы журнала традиционно отражали разработки прогрессивных технологий, оборудования, проектные решения предприятий различных подотраслей промышленности строительных материалов, публиковались статьи о новых и улучшенных строительных материалах, в том числе для малоэтажного и индивидуального строительства.

В журнале отражены организационные изменения, происходящие в отрасли в современных экономических условиях. был выпущен специальный номер — презентация Государственного концерна «Росстром», публиковались материалы учредительного съезда Союза строителей и др.

В минувшем году более половины всех авторов — первые выступавшие в нашем журнале. Запросы по выпущенным номерам свидетельствуют о расширении круга читателей и вместе с тем характеризуют неудовлетворенность объемом информации по ряду вопросов. Анализ почты редакции предопределил появление в журнале в 1992 г. рубрики «Колонка редактора».

Подводя некоторые итоги публикаций в 1991 г., редакция и редколлегия наметили ряд тематических направлений на 1992 г.

Так, готовится к выпуску номер журнала, посвященный керамическим стеновым материалам. В нем будут помещены статьи об отечественном комплексном технологическом оборудовании, организации строительства новых и реконструкции действующих производств с его исполнением. Читатели ознакомятся со сравнительной технико-экономической оценкой комплексов, их конкурентоспособностью с аналогами. В этом номере выступят со статьями специалисты как отраслевых организаций, традиционно занимавшихся техникой и оборудованием для кирпичной промышленности, таких как концерн «Росстром», ВИПО стековых и пакетных материалов им. Н. Н. Будникова, научно-технический центр «Строммаш» (г. Магнитогорск), УралНИИстройпроект, так и новые инженерно-коммерческие структуры, такие как фирма «Ялта-инжиниринг» и др.

Постоянно будет освещаться тема развития производств и применения изделий из ячеистого бетона. Наряду с необходимостью проанализировать и обобщить

опыт создания и освоения мощностей по выпуску изделий различного назначения из ячейко-эффективного материала, ознакомить читателей с прогрессивными проектами, позволяющими расширить сферу его применения в строительстве. За последние годы появились прогрессивные технологические и конструкторские разработки в области производства ячеистого бетона, возрос научно-технический потенциал. Редакция надеется на авторское участие в разработке этой важной темы специалистов предприятий, научно-исследовательских, проектных, конструкторских организаций России, Украины, Беларуси, стран Прибалтики, Казахстана, Киргизии и других.

Материалы на основе композиций с использованием гипса также являются перспективным тематическим направлением в журнале. Предполагается, в частности, напечатать ряд статей по разработкам МИСИ им. В. В. Куйбашева, разнообразие основывающим проблему долговечности композиционных типовых ячеек (быстрые, прочностные и деформативные свойства), а также показать технические факторы, обеспечивающие конкурентоспособность таким материалам в строительстве.

Редакционная почта свидетельствует о том, что многих специалистов строителей и в особенности индивидуальных застройщиков волнует вопрос о влиянии на здоровье человека асбестоцемента, применяемого в жилищном строительстве. В журнале в минувшем году неоднократно обсуждался вопрос об экологических проблемах, связанных с изготовлением и эксплуатацией в зданиях асбестоцементных материалов. В наступившем году планируется продолжить эту тему под углом зрения использования заменителей асбеста в прогрессивных технологиях, показать предприятия малой мощности для изготавления асбестоцементных изделий, осветить совершенствование технологии литья и переработки асбеста.

Планируя публикации номеров первых месяцев наступившего года редакция намерена продолжить практику представления страниц журнала межотраслевой информации, объявлений в рубрике «Информ партнер», материалов Международных выставок, торжественно-промышленной рекламы.

УДК 669.94/95(540)

В. М. ДОЛГОПОЛОВ, инж., М. Н. КУРБАЦКИЙ, канд. техн. наук,
Л. А. ТАРАБРИНА, инж., Л. В. САФРОНОВА, инж. Т. В. ЧЕЧУЛИНА, инж.,
(Магнитогорский металлургический комбинат им. В. И. Ленина)

Производство известково-шлакового цемента на основе отходов металлургического предприятия

На Магнитогорском металлургическом комбинате начато производство известково-шлакового цемента из местных материалов для индивидуального строительства.

Сейчас на комбинате доля привозного железорудного сырья — железорудных окатышей и концентратов значительно возросла. Привозные железорудные концентраты используют в производстве агломерата без предварительного обогащения, а окатыши — без какой-либо переработки. Поэтому мощности для переработки железорудного сырья частично высвободились.

На обогатительных фабриках, предназначенных для переработки железорудных материалов, за счет частичного освобождения мощностей ранее была организована переработка сварочного шлака на фракционированный материал для агломерационного и доменного производства [1] и переработка вскрышных пород из гранита на щебень в заполнители для бетонов [2].

Частично высвободившиеся мощности горно-обогатительного производства подтолкнули также приступить к разработке технологии и организация выпуска известково-шлакового цемента. Этому предшествовала исследовательская работа. Она включала изучение компонентов цемента — гранулированного доменного шлака, извести, гипсового камня, а также анализ существующей практики производства такого цемента (технология изготовления низкомарочных цементов широко известна [3, 4]). Учитен многолетний опыт получения известково-шлакового цемента на вяжально-цементной установке треста Магнитострой, а также работы мини-цементных заводов у нас и за рубежом мощностью от 20 до 100 т цемента в 1 сут [5].

На основании результатов выполненных исследований и изучения опыта эксплуатации действующих помольно-цементных установок была разработана и внедрена технология получения цемента в условиях горно-обогатительного производства Магнитогорского металлургического комбината (ММК). Технология освоена в короткие сроки, от начала ее разработки, включая проектирование установки и монтаж оборудования, до пусконаладочных работ затрачено менее 1 года.

Действующая на ММК технология обогащения и переработки железорудных материалов разработана с применением в максимальной степени метода свободного падения. На верхнюю отметку, на которой расположены питатель и дробилка, поступает железорудный материал. Пройдя систему конвейеров, питателей и сит он спускается на нижнюю отметку — в шихтовое отделение аглофабрики.

Для производства известково-шлакового цементита разница в отметках расположения оборудования с учетом рельефа местности также является благоприятным фактором, так как в технологическом процессе задействуются максимум передаточных механизмов благодаря свободному падению материала.

Технологическая схема получения известково-шлакового цемента на Магнитогорском металлургическом комбинате показана на рисунке. Используются сырьевые материалы: местные гранулированный доменный шлак и известь, а также привозной гипсовый камень Дубининского карьера Оренбургской области.

Гранулированный доменный шлак, полученный на грануляционной установке ММК соответствует требованиям действующего стан-

дарта ГОСТ 3476—74 [6]. По зерновому составу шлак представлен в основном фракцией 0—5 мм. Его химический состав, % (по массе): CaO — 39,1; MgO — 7,7%; SiO₂ — 36,5%; Al₂O₃ — 13,3; Fe₂O₃ — 0,37; п. п. — 0,83; TiO₂ — 0,92; SO₃ — 1,43. Модуль основности шлака ($M = \frac{CaO + MgO}{SiO_2 + Al_2O_3}$) составляет 0,94.

Известь Агаповского известково-обжигового цеха (г. Магнитогорск) содержит активных CaO + MgO 61—75%, нерастворимый остаток составляет 0,61% и соответствует требованиям ГОСТ 9179—77 [7] к извести для производства известково-шлакового цемента.

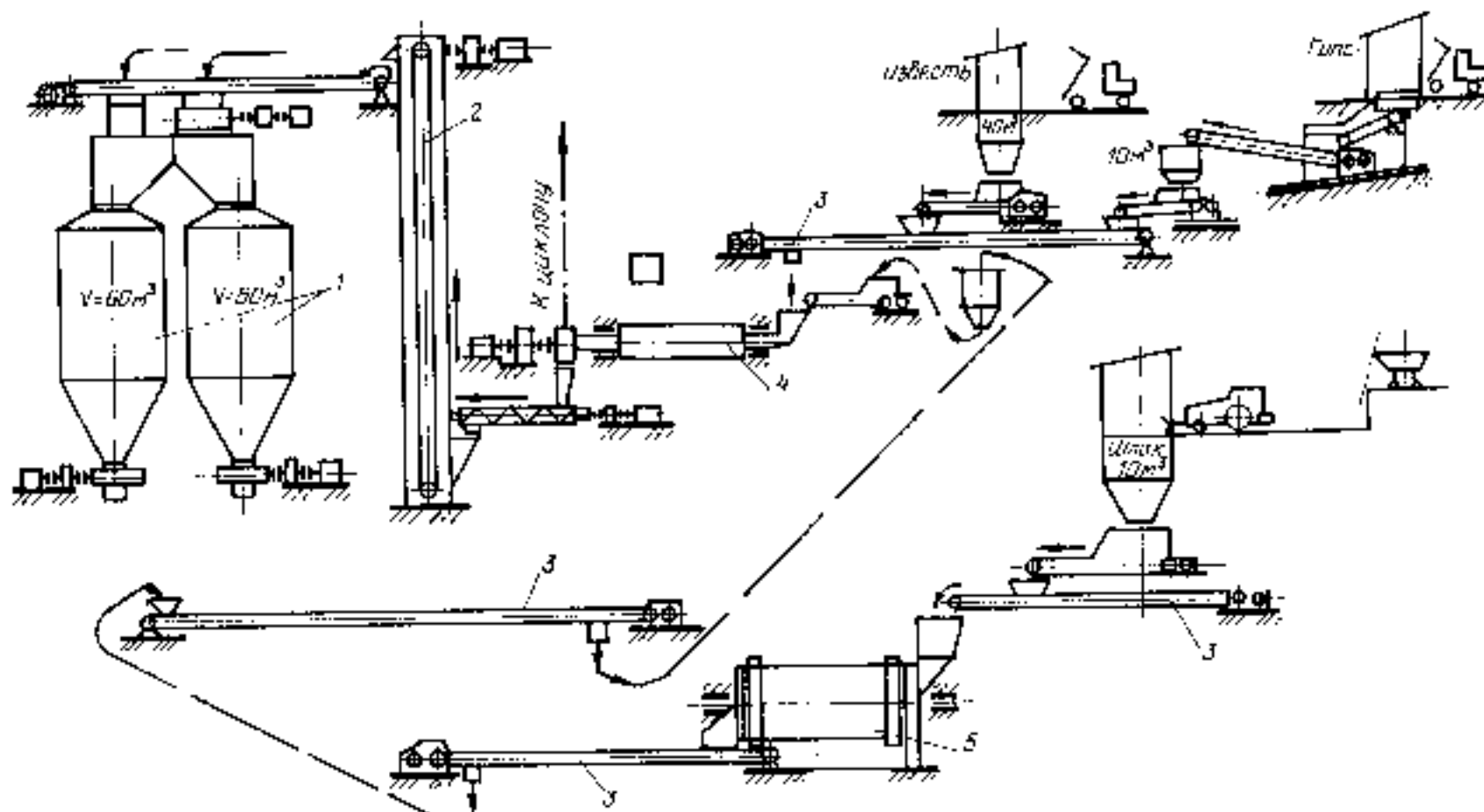
Химический состав гипсового камня, % (по массе): CaO — 33,2; MgO — 3,1; SiO₂ — 10,6; Al₂O₃ — 0,13%; SO₃ — 46,2. Требования к его качеству регламентированы ГОСТ 4013—82 [8].

Состав известково-шлакового вяжущего, % (по массе): известь — 15, гранулированный доменный шлак — 85, гипс — 3—5. Тонкость его помола — проходит через сито с отверстиями 0,07 мм 91—93%.

Предел прочности при сжатии известково-шлакового цемента составляет 145, а при изгибе 60 кгс/см².

Процесс твердения вяжущих, изготовленных на основе доменного гранулированного шлака при тепловлажностной обработке, изучен давно [9]. Известково-шлаковый цемент, полученный на Магнитогорском металлургическом комбинате на основе отходов и местных строительных материалов, можно использовать в кладочных и штукатурных работах, а также для производства бетона и сборного железобетона, твердеющих в нормальных условиях или в результате тепловлажностной обработки.

На ММК из такого вяжущего



Технологическая схема производства известково-шлакового цемента на Магнитогорском металлургическом комбинате
1 — силосы (для цемента); 2 — щековая дробилка ЛД-250 к; 3 — конвейер КПС В 650; 4 — трубчатая мельница 2,2×13; 5 — сушильный барабан 2,75×16.
6 — передвижной агрегат предварительного дробления СМД-26В

изготавливают мелкоштучные изделия размером 190×200×250 мм для строительства малоэтажных домов, гаражей, садовых домиков и др., фундаментные блоки, бетон для монолитного домостроения, то-варный.

Производительность задействованной помольно-цементной установки — 12 т вяжущего в 1 ч.

Экономический эффект от выпуска известково-шлакового цемента составляет 1,5—2 р. на 1 т. Разработанная технологическая схема производства такого цемента может быть внедрена на других

металлургических предприятиях или в строительных организациях, где есть гранулированный доменний шлак и строительная известь.

СПИСОК ЛИТЕРАТУРЫ

- Переработка сварочного шлака на Магнитогорском металлургическом комбинате / М. И. Курбакий, Н. Н. Барыкин и др. // Бюллетень науч.-технич. информ. Черная металлургия. 1981. Вып. 9.
- Производство щебня из шлаково-обожженных пород / В. М. Долгополов, Л. А. Азехин, И. М. Богданов и др. // Стройт. материалы. 1990. № 12.
- Щелестов А. М. Производство местных вяжущих материалов. — М.: Стройиздат, 1961.
- Будников П. Н., Звичко-Яновский И. Л. Гранулированные цементные шлаки и шлаковые цементы. — М.: Промстroiздат, 1953.
- Бутт Ю. М. Технология цемента и других вяжущих материалов. — М.: Промстroiздат, 1956.
- ГОСТ 3476-74. Шлаки доменные и электрические для производства цементов.
- ГОСТ 9179-77. Известь строительная. технические условия.
- ГОСТ 4013-82. Камень гипсовый и гипсоангидритовый для производства вяжущих материалов. Технические условия.
- Виноградов Б. Н., Гребенник В. А., Гладких К. В. Процессы твердения вяжущих из диненных гранулированных шлаков при поддерживаемой обработке // Стройт. материалы. 1963. № 4.

И. В. БАРАБАШ, канд. техн. наук (Одесский инженерно-строительный институт),
В. И. СОЛОМАТОВ, д-р техн. наук (Московский институт инженеров железнодорожного транспорта)

Интенсивная раздельная технология бетонов на наполненном известковом вяжущем

Бетонную смесь на наполненном известковом вяжущем используют для формования различных стеновых материалов и изделий, в частности, силикатного кирпича, бетонных камней, блоков. Традиционная технология приготовления наполненного известкового вяжущего, заключающаяся в совместном помоле негашеной извести и природ-

ных либо искусственных каменных материалов (кварцевый песок, известняк, металлургические шлаки, обожженная глина), не обеспечивает возможности получения требуемой дисперсности извести и наполнителей вследствие их различной твердости, снижает эффективность работы мельниц. Дальнейшее перемешивание компонентов бетон-

ной смеси в тихоходных бетономешалках не обеспечивает достаточной гомогенизации бетонных масс и, как следствие, снижает потенциальные возможности прочностных характеристик затвердевшего бетона.

Разработка новой технологии позволит существенно повысить прочность и долговечность силикат-

ных бетонов при одновременном снижении наиболее энергоемкого компонента бетона — извести. Это интенсивная раздельная технология приготовления бетонной смеси, основное положение которой применительно к силикатным бетонам — разделение процессов и независимость режимов приготовления наполненных известковых вяжущих (сuspензий) и бетонных смесей [1, 2].

Предельно возможная прочность затвердевшего бетона достигается при оптимальной концентрации наполненного вяжущего в дисперсионной среде. Но одновременно с увеличением концентрации твердой фазы возрастают силы межчастичного взаимодействия, что приводит к появлению пространственных агрегатов из дисперсных частиц гидратной извести и наполнителя и, как следствие, к повышению вязкости [3]. Поэтому только предельное разрушение начальной структуры системы, т.е. полное разобщение частиц в агрегатах, обеспечивает достижение максимальной однородности наполненного известкового вяжущего.

С позиций физико-химической механики дисперсных структур максимальная степень разрушения начальной структуры системы достигается при одновременном воздействии на нее механических и физико-химических факторов [4, 5]. Поэтому логично предположить, что критерiem эффективности воздействий на высококонцентрированные супензии следует рассматривать степень разрушения начальной структуры, определяемой эффективной вязкостью.

В исследованиях в качестве вяжущего использовалась негашенная известь, размолотая до удельной поверхности $3000 \text{ см}^2/\text{г}$, в качестве наполнителя вяжущего — молотый доменный шлак ($M_{\text{вск}} = 1,1$). Приготовление супензии осуществлялось в скоростном смесителе путем последовательного введения в него воды, извести и шлака.

Механическое воздействие на структурированную систему извести-шлаководных супензий приводит к значительному разрушению начальной структуры, что выражается в снижении вязкости примерно в 2 раза (рис. 1). При этом обнаружено, что с увеличением скорости вращения рабочего органа смесителя происходит снижение вязкости супензии, достигающей минимального значения при $n=2300 \text{ мин}^{-1}$.

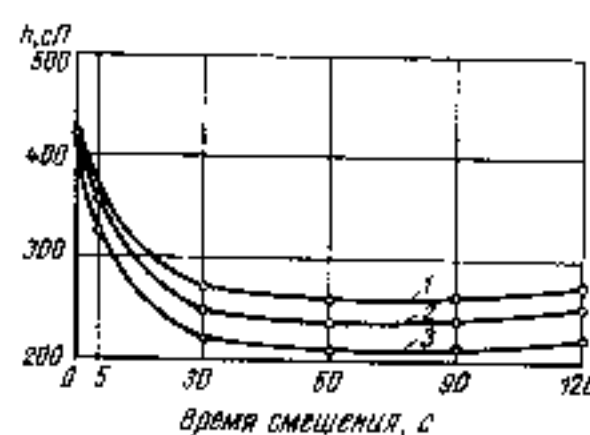


Рис. 1. Влияние скорости вращения рабочего органа смесителя на вязкость супензии

1 — $n=1400 \text{ мин}^{-1}$; 2 — $n=1850 \text{ мин}^{-1}$
3 — $n=2300 \text{ мин}^{-1}$

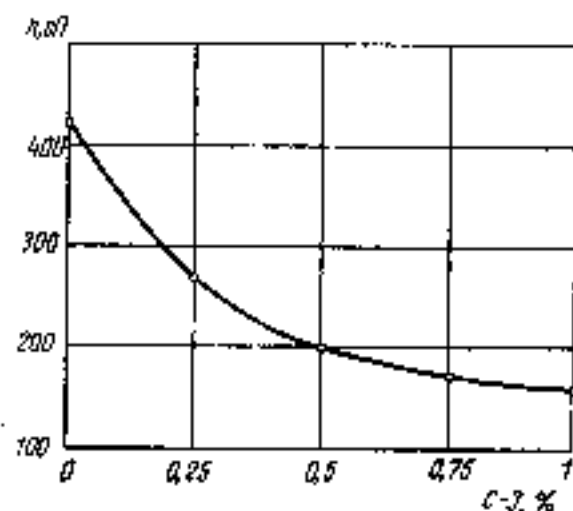


Рис. 2. Влияние концентрации С-3 на вязкость супензии (скоростное смешение отсутствует)

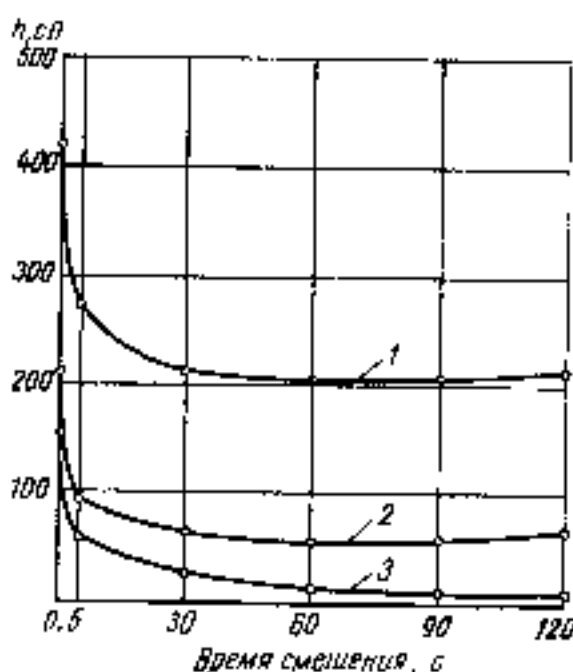


Рис. 3. Зависимость вязкости супензии от концентрации С-3 ($n=2300 \text{ мин}^{-1}$)
1 — С-3=0%; 2 — С-3=0,5%; 3 — С-3=1%

Значительно усиливает эффект снижения вязкости в скоростное смешение супензии в присутствии ПАВ. Было установлено, что если без скоростного смешения добавка 1% С-3 приводит к снижению вязкости в 2,6 раза (рис. 2), то введение в скоростной смеситель суперпластификатора С-3 вместе с водой затворения обеспечивает

снижение начальной вязкости супензии более чем в 20 раз (рис. 3).

Затворение предложенными супензиями мелкого, а при необходимости и крупного заполнителя позволяет получать бетонные смеси требуемой подвижности при меньших (до 25—30%) расходах воды. Механические испытания бетона после тепловлажностной обработки, приготовленного по ИРТ и традиционной технологии, позволили установить следующее:

- ИРТ обеспечивает возможность получать бетон после ТВО ($T=135\pm45^\circ\text{C}$; $t_{\text{з}}=8\pm4 \text{ ч}$) с прочностью при сжатии на 50—90% выше по сравнению с прочностью бетона, приготовленного по традиционной технологии;
- ИРТ обеспечивает достижение равнопрочных бетонов при более низких значениях параметров ТВО. В среднем температура изотермического прогрева может быть снижена на 30—35 °C, время изотермической выдержки на 2—3 ч;
- при прочих равных условиях ИРТ позволяет в 2—3 раза сократить расход извести при сохранении прочностных характеристик бетона.

Проведенные комплексные исследования на примере наполненной известковой супензии и бетонной смеси на ее основе позволили установить не только закономерности поведения ее в присутствии ПАВ, но и осуществить количественную оценку и степень изменения при скоростном смешении как реологических характеристик супензий, так и прочности при сжатии бетона после ТВО.

СПИСОК ЛИТЕРАТУРЫ

1. Соломатов В. И., Тахироев М. К., Тахир Шах. Интенсивная технология бетонов. — М.: Стройиздат, 1989.
2. Соломатов В. И., Тахироев М. К., Хавкин В. К. Ресурсосберегающая технология бетона. — Ташкент: Мехакадемиздат, 1990.
3. Урьев Н. Б., Михайлов Н. В., Ребиндер П. А. Упрочняющие реологические свойства конструированных дисперсий цемента в воде для получения наиболее прочной структуры кляя, имеющей пристойки цементного камня. В сб. «Физико-химическая механика дисперсных структур». АН СССР. — М.: Наука, 1968.
4. Ребиндер П. А. Физико-химическая механика. — М.: Знание, 1958.
5. Урьев Н. Б., Талейсник М. А. Физико-химическая механика и интенсификация образования пищевых масс. — М.: Пищевая промышленность, 1978.

УДК 691.66.044.004.47

С. Н. КУЗНЕЦОВ, инж., С. М. АНУЧИН, инж., В. И. ЧИЖАТКИН, инж.,
В. П. ЧЕРНОВ, инж. (ВНИИцеммаш)

Реконструкция коротких автоклавов

Длинномерные автоклавы типа АП 1,2—2×40 м долгое время не имели отечественных аналогов. Достаточно низкий технический уровень эксплуатации оборудования длительное время фокусировал внимание проектировщиков и изготавителей исключительно на недостатках длинномерных многоопорных автоклавов: повышенный износ корпуса; образование трещин в кольцевых швах из-за многократного увеличения изгибающих напряжений в длинномерной оболочке при засорении системы отвода конденсата и наличии в корпусе большого слоя оставшей силикатной массы [1].

Предпочтение отечественного автоклавостроения конструкциям короткометражного типа длиной 17—19 м во многом было обусловлено отсутствием эффективных приемов приведения условий работы длинномерных сосудов к короткометражным, особенно при обычных для среднего отечественного завода нарушениях по периодичности очистки корпуса, периодичности включения продувной линии отвода конденсата и т. д. Поэтому на целом ряде предприятий на автоклавах АП 1,2—2×40 м возникали трещины в кольцевых швах, что приводило к аварийным ситуациям [1]. Эти автоклавы первоначально не были оснащены устройством контроля разницы температур «верх-низ» корпуса.

Изготовление автоклавов АП 1,2—2×40 м начато сравнительно недавно, что потребовало решения ряда технических задач по их доводке, в частности по обеспечению полного отвода конденсата сильнозагрязненного оставшей силикатной массой, созданию достоверных схем расчета и проектирования автоклавов в условиях значительной разницы температур «верх-низ» корпусов автоклавов с перераспределением опорных реакций. Вместе с тем, длинномерные автоклавы имеют несомненное преиму-

щество, заключающееся прежде всего в их высокой производительности.

Одно время технологическими институтами ставился вопрос о разработке специальной машины для механизированной очистки внутреннего пространства автоклавов от оставшей силикатной массы, особенно это актуально при эксплуатации длинномерных автоклавов.

Стремясь удовлетворить интересы заказчиков по замене в короткие сроки импортных автоклавов АП 1,2—2×40 м, отработавших назначенный ресурс или выведенных из эксплуатации по причине аварийного состояния, ВНИИцеммаш выполнил ряд работ по реконструкции серийных автоклавов АП 1,2—2×19 м. Волгоцеммаша (корпус короткометражного автоклава разрезается на две части, в середину между ними вставляется средняя обечайка).

Реконструкция производится монтажными организациями, имеющими опыт и право работы на сосудах, функционирующих под давлением. Технические требования на изготовление (включая чертежи) средних обечайек и опор, монтаж и технический контроль выдается ВНИИцеммашем в виде утвержденных документов. ВНИИцеммашем предоставляются чертежи общих видов реконструированного корпуса и самого автоклава, выполняется расчет корпуса сорокаметрового автоклава на прочность, учитывающий требуемое заказчиком расположение опор. В паспорт сосуда ВНИИцеммаш вносятся соответствующие изменения, скрепляемые подписью и печатью.

Одновременно, по согласованию с заказчиком, реконструируемый автоклав может дорабатываться с целью более полного учета специфики длинномерности: увеличивается число штуцеров конденсато-отвода; вводится новая более простая и надежная система отвода

конденсата, разработанная на основе нового изобретения ВНИИцеммаш; изменяется конструкция внутренних подрезьмовых опор (для облегчения монтажных работ); вводится система нижнего парораспределения и разогрева; вводятся направляющие приспособления, устраняющие боковые горизонтальные смешения сосуда и т. д.

Разработаны чертежи нового сигнально-блокировочного устройства для автоклавов, обеспечивающего повышенную безопасность, которые также могут использоваться при реконструкции. По заказам предприятий ВНИИцеммаш может разработать документацию на реконструкцию любого автоклава, любой требуемой длины. При невозможности реконструкции имеющихся сосудов может быть разработан полный комплект документации на любой диаметр и длину автоклава для любого завода-изготовителя (имеющего соответствующие технологические возможности).

СПИСОК ЛИТЕРАТУРЫ

- Кузнецов С. Н., Анучин С. М. Результаты обследования автоклавов на предприятиях промышленности строительных материалов // Строительные материалы. 1986 № 3

По страницам журналов

Карись Я., Захара М. Добавки, повышающие сульфатостойкость бетона // Цемент-Бетон Гипс, т. XLIV/LVII, 1991, № 4—5.

Сульфатостойкость бетонов можно значительно повысить путем введения в бетонную смесь добавок. Проведены испытания эффективности противокоррозионного воздействия пластификаторов: меламинофирмальдегидной и нафталенофирмальдегидной смол, а также коллоидного кремнезема и абишитовых или адигитниковых соединений. Установлено положительное влияние примесей смол, особенно в растворах с большим содержанием С₄A в цементе. Добавка 10% коллоидного кремнезема позволила повысить сульфатостойкость раствора

Оптимизация силового режима работы канатно-алмазных пил при добыче природного камня

Гибкий режущий инструмент получил самое широкое распространение при добыче блоков декоративного облицовочного камня для вырезания их из массива и при последующей разделке на монолитные заготовки (блоки, плиты). Эффективность поверхностного разрушения породы в забое во многом определяется силовым режимом работы гибкого инструмента, поэтому всестороннее изучение рациональных условий контактного взаимодействия инструмента и породы является основой для выработки практических рекомендаций по эксплуатации и конструированию инструмента, а также используемых при этом оборудованием.

Породоразрушающую способность гибкого инструмента характеризует сила резания, значение которой через результатирующую нормальную нагрузку на забой P_p можно получить в следующей форме [1]

$$P_p = \mu_1 P_0 = \mu_1 \frac{(e^{\mu\phi} - 1)}{\mu} P_0, \quad (1)$$

где P_0 — усилие предварительного натяжения гибкого инструмента, и; ϕ — угол охвата инструментом распиливаемой породы, радиан; $\mu = \mu_p + \mu_{\alpha}$ — коэффициент алмазно-абразивной распиловки; μ_{α} — коэффициент алмазно-абразивного разрушения (резания) породы; μ_p — коэффициент трения при алмазно-абразивном разрушении.

Из выражения (1) следует, что сила резания будет увеличиваться по мере роста силы предварительного натяжения P_0 и угла охвата ϕ . Ограничивающим фактором роста P_p является условие усталостной прочности гибкого инструмента, как условие предельной несущей способности, обеспечивающей безаварийную работу инструмента за расчетный (планируемый) период его эксплуатации [2]:

$$P_0 e^{\mu\phi} = \frac{P_0}{[\alpha]}, \quad (2)$$

где P_0 — статическая прочность гибкого инструмента, и; $[\alpha]$ — коэффициент запаса прочности.

С учетом совместного решения (1) и (2) зависимость предельной силы резания принимает вид

$$P_p = \frac{\mu_1}{\mu} (1 - e^{-\mu\phi}) \frac{P_0}{[\alpha]}. \quad (3)$$

Важным результатом проведенного анализа является аналитическое доказательство повышения эффективности распиловки гибким инструментом заданной несущей способности с ростом угла охвата (рис. 1). На практике это нашло отражение в применении канатных пил с углами охвата распиливаемой породы в 180° и выше.

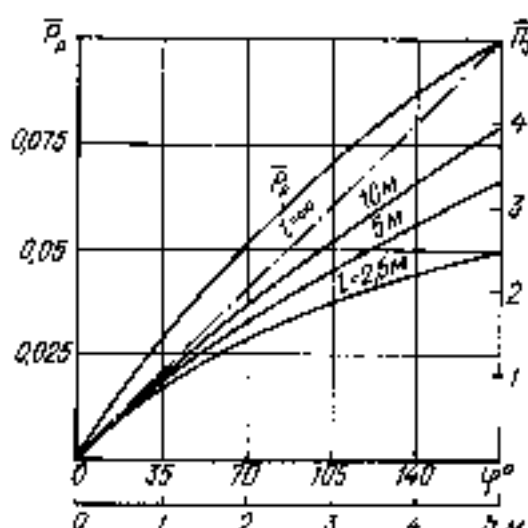


Рис. 1. Зависимость силы резания (в безразмерной форме

$$\frac{P_p}{P_0} = P_0,$$

при $\mu=0.3$, $\mu_p=0.05$) от угла охвата и зависимость производительности резания по забою ($W_p = P_p/V_p$, от высоты к зонам пропила

Распиловка колыцевым гибким контуром по схеме «петлевого охвата» монолита или блока камня (рис. 2) становится возможной с разработкой и внедрением канатно-алмазного инструмента, так как инерционный срыв абразивной пульпы

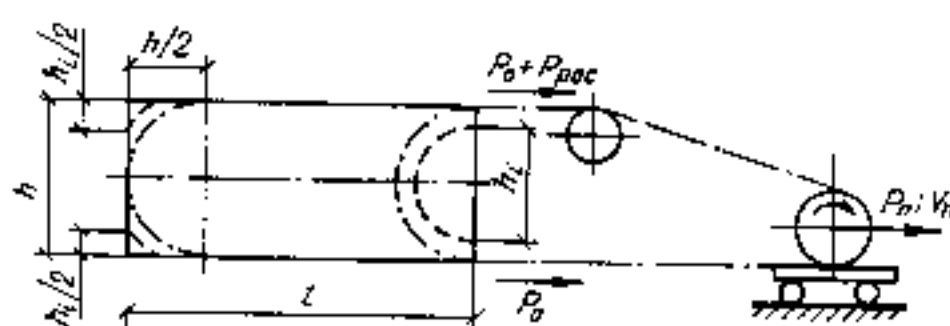


Рис. 2. Схема распиловки блока камня канатно-алмазной пилой

в канатно-абразивных пилах не позволял эффективно вести процесс разрушения породы с углами охвата свыше $\phi=60^\circ$ [2]. Кроме того, внедрение канатно-алмазного пиления по схеме «петлевого охвата» породы привело к разработке и созданию установок, существенно отличных от канатно-абразивных пил, так как они получили принципиально новое конструктивное решение на основе компоновки традиционных узлов и механизмов в единый малогабаритный агрегат на передвижной тележке.

Полученная зависимость (3) в интегральной форме определяет связь между силовыми параметрами разрушения породы канатно-алмазным инструментом без учета особенностей контактного взаимодействия, на элементарном уровне характеризующего эффективность процесса резания. Такая возможность появляется при записи силы резания через контактное напряжение σ_n ($\text{Н}/\text{м}^2$)

$$P_p = \mu_1 \sigma_n F_k = \mu_1 \sigma_n k_\phi R_b k_n, \quad (4)$$

где F_k — площадь нормального контакта инструмента с породой, м^2 ; R_b — высота пропила (уступа или блока камня), м ; b — ширина прорезаемой щели (принимаем равной внешнему диаметру алмазорежущей втулки d_b), м ; $k_n = \frac{l_h}{l_h + l_c}$ — коэффициент прерывистости режущей поверхности гибкого контура (l_h — длина алмазорежущего элемента; l_c — расстояние между алмазорежущими элементами);

$$k_\phi = \frac{\sqrt{1 + \mu^2}}{\mu \sin \phi / 2} \times \frac{(e^{\mu\phi} - 1)}{(e^{\mu\phi} + 1)} \quad \text{коэффициент приведения длины контакта инструмента с породой к высоте пропила.}$$

Удельная сила давления инструмента на забой σ_n в дифференциальной форме выражает силовой режим разрушения породы, поэтому может являться комплексным показателем, отражающим как физико-механические свойства породы, так и характеристику инструмента. Остановимся подробнее на анализе предельной величины $[\sigma_n]$.

Очевидно, что контактное напряжение не может быть сколько

угодно высоким, а имеет предельное значение, зависящее от физико-механических свойств породы и инструмента. На практике контактное напряжение $[\sigma_n]$ устанавливают, исходя из факта отсутствия прироста производительности распиловки с увеличением нормального давления инструмента на породу. По мере увеличения глубины внедрения алмазных зерен в массив уменьшается зазор между поверхностью забоя и поверхностью связки, что ухудшает условия выноса продуктов разрушения из зоны контакта инструмента с породой.

Уплотненная разрушенная масса заполняет зазоры между рабочей поверхностью алмазного инструмента и забоем, препятствуя эффективному резанию [3]. Максимально допустимое заглубление алмазных зерен инструмента и определяет предельную величину $[\sigma_n]_n$ для каждой конкретной пары «инструмент-порода». Но не всегда экономически целесообразно назначать силовой режим, исходя из максимально допустимого заглубления алмазных зерен. На показатели эффективности разрушения породы существенное влияние оказывает удельный расход алмазного инструмента (карат на 1 м² пропила).

С увеличением нормального давления, вплоть до предельных значений $[\sigma_n]_n$, как правило, темпы изменения износа инструмента и разрушения породы различны, поэтому показатель удельного расхода алмазов имеет минимум, соответствующий давлению $[\sigma_n]_n < [\sigma_n]_p$. Тогда рациональная величина контактного напряжения, рассчитанная, например, по максимальной себестоимости пиления единицы поверхности забоя, будет находиться в интервале $[\sigma_n]_n < \sigma_n < [\sigma_n]_p$ (для пород средней прочности область рациональных удельных нагрузок лежит в диапазоне 2 кг/см² < σ_n < 10 кг/см²).

Необходимое нормальное давление инструмента на забой создается либо путем непосредственного приложения заданного усилия к рабочему органу камнерезной установки, например, с помощью грузовой подвески (мягкое нагружение), либо перемещением рабочего органа с заданной скоростью подачи (жесткое нагружение).

Параметры, характеризующие данные методы силового нагружения канатно-алмазных пил, можно определить следующим образом.

Сила подачи P_f определяется как

сумма сил со стороны ведомой и ведущей ветви (см. рис. 2) кольцевого контура каната:

$$P_f = 2P_\theta + P_{\text{рас}}. \quad (5)$$

Так как усилие, затрачиваемое на распиловку $P_{\text{рас}}$ включает в себя силу резания P_p и силу трения, то путем замены в формулах (1) и (4) μ_p на $\mu = \mu_p + \mu_t$ получаем соответствующие выражения $P_{\text{рас}}$, подстановка которых в соотношение (5) приводит к окончательному виду силы подачи:

$$P_f = \sqrt{1 + \mu^2} \sigma_n k_q d_b h. \quad (6)$$

Из полученной зависимости следует, что если $P_f = \text{const}$ в процессе пиления, то обеспечивается постоянство давления инструмента на породу независимо от изменения ее физико-механических свойств вдоль пропила. Однако на величину σ_n оказывает влияние высота пропила h . Первое обстоятельство относится к преимуществам метода силового нагружения по режимному параметру P_f , а второе обстоятельство является недостатком, так как связано с постоянным контролем и участием оператора в настройке режима работы инструмента. Применяемые в настоящее время на отечественных карьерах канатно-алмазные пилы итальянского производства [4] имеют привод перемещения инструмента, работающий по методу постоянства усилия подачи.

В работе [1] скорость подачи определена на основе энергетического принципа расчета поверхностного разрушения алмазно-абразивным инструментом в виде:

$$V_p = \frac{1}{\mathcal{E}_n} \cdot \frac{P_p V_p}{d_b h},$$

где \mathcal{E}_n — энергоемкость разрушения материала породы, дж/м³; V_p — скорость резания, м/с.

Подстановка в данное соотношение значения P_p из формулы (4) дает окончательное выражение скорости подачи

$$V_p = \frac{\mathcal{E}_n}{\mathcal{E}_n} \sigma_n k_q k_p V_p. \quad (7)$$

В отличие от усилия подачи (6) скорость подачи (7) не зависит от высоты пропила, а определяется только свойствами распиливаемой породы (μ_p ; \mathcal{E}_n), поэтому, выбирая метод силового нагружения по режимному параметру V_p , мы исключаем влияние геометрии пропила на величину нормального давления σ_n . При этом остается взаимосвязь между σ_n и свойствами породы вдоль пропила.

Полученные результаты (4) и (7) имеют основополагающее значение для определения рациональных силовых режимов работы канатно-алмазного инструмента при резании горных пород. Для достижения наибольшего эффекта очевидно совмещение рассмотренных методов силового нагружения режущего инструмента, когда процесс распиловки осуществляется с постоянной заданной скоростью подачи $V_p = \text{const}$, а в системе привода подачи предусмотрено устройство, предотвращающее перегрузку инструмента по осевому усилию из-за возможного изменения свойств породы вдоль пропила.

Существенно влияние геометрии пропила (высоты и длины) на такой важный критерий эффективности процесса, как производительность резания. При этом необходимо различать три стадии пиления: запиловку, основное пиление, долблывание реза. На первой и третьей стадии происходит непрерывное изменение высоты контура резания h_i (длины хорды дуги охвата, измеряемой в направлении, перпендикулярном скорости подачи). Данные стадии пиления в связи с непрерывным изменением геометрического параметра h_i можно охарактеризовать как нестационарные.

Величины производительности резания Π_p и площади забоя S_p , характеризующие нестационарное пиление, связаны с текущим значением высоты контура резания следующими соотношениями

$$\Pi_p = V_p h_i; S_p = \frac{h_i^2}{2}.$$

Откуда время нестационарного пиления составит

$$t_p = \int_0^{S_p} \frac{ds}{\Pi_p} = \int_0^{h_i^2} \frac{h_i dh}{V_p h_i} = \frac{h_i^2}{V_p} = \frac{h_i^2}{V_p}.$$

Определим время пиления в стационарном режиме

$$t_0 = \frac{h_i - 0.5h_i^2}{V_p h_i} = \frac{h_i - 0.5h_i^2}{V_p}.$$

и общее время пиления забоя заданной площади

$$t = t_0 + t_p = \frac{h_i + 0.5h_i^2}{V_p}.$$

После чего искомая величина производительности резания по забою будет

$$\Pi_s = \frac{h_i}{t} = \frac{V_p}{1/h_i + 0.5/h_i}. \quad (8)$$

Анализ выражения (8) показывает, что с увеличением высоты и длины пропила производительность возрастает, так как в первом

сейчас возрастает длина контакта инструмента с породой при неизменном удельном давлении $a_p = \text{const}$, а во втором случае уменьшается доля площади нестандартных процессов литья по отношению к общей площади забоя (см. рис. 1).

При выборе рациональных величин h и t следует руководствоваться следующими соображениями. С увеличением высоты пропила пропорционально возрастает сила расщепления, которая в процессе разрушения породы полностью воспринимается канатом. Тогда для сохранения несущей способности каната на заданном уровне необходимо увеличивать его диаметр и таким образом диаметр алмазорежущих элементов, определяющих ширину пропила.

С увеличением ширины пропила увеличиваются удельные затраты энергии и удельный расход алмазов. Поэтому рациональную высоту пропила необходимо определять, исходя из расчета минимальных удельных затрат, приходящихся на единицу поверхности забоя. Длина пропила также имеет верхний предел, ограниченный возможностями бурения в массиве встречных пересекающихся скважин в вертикальном и горизонтальном направлениях для заводки алмазно-канатного инструмента и последующей его сечки в конусной холмуре.

Если на основании опыта Кийик-Корданского мраморного карьера, где применяются канатно-алмазные пилы итальянского производства, принять за рациональную высоту пропила (уступа) величину $h = 1,5 - 2,5$ м, то, как показывает практика ведения добочных работ, длина пропила не превышает 8-10 м.

Проведенные исследования позволяют сделать следующие выводы и рекомендации.

Максимальное нормальное давление гибкого инструмента на породу при заданной его несущей способности достигается по схеме «спирального охвата» распиливаемого монолита или блока камня. Следовательно, в этом случае проявляется и предельная породоразрушающая способность гибкого инструмента, а значит обеспечивается по условиям силового контакта взаимодействия и максимальная возможная производительность резания.

Экологически и технически оправдано ведение процесса ал-

мазно-абразивного разрушения породы с постоянным удельным давлением инструмента на забой независимо от геометрии профиля. Данному режиму резания соответствует условие постоянства скорости подачи в течение всех стадий пиления монолита камня (запиловка, основное пиление и допилование).

Согласно рекомендуемому режиму резания ($V_u = \text{const}$), в период запиловки усилие подачи плавно возрастает, а в период допилования реза снижается, что создает благоприятные условия работы колышевому контуру каната, снижая воздействие на него поперечных нагрузок от кривизны пропила. Именно в периоды запиловки и допилования, когда кривизна линии резания максимальна, происходят в основном аварийные обрывы контура по месту его соединения.

При разделке монолита на товарные блоки и пасшировке блоков правильной формы процесс разви-

тия может осуществляться только в нестационарном режиме, когда на протяжении всего времени пиления непрерывно изменяется геометрический параметр h . Поэтому в данном случае соблюдение силового нагружения в форме $V_u = \text{const}$ является непременным условием эффективности процесса пиления.

СПИСОК ЛИТЕРАТУРЫ

1. Герштейн Г. Д. Определение склонных к гибким охватам параметров распиловки гибким органом // Изв. вузов. Горный журнал. 1984. № 2.
2. Герштейн Г. Д. Расчет и выбор радиоизделий гибкостатических параметров канатно-абразивной распиловки // Изв. вузов. Горный журнал. 1986. № 11.
3. Алюминиевый инструмент для разрушения крепких горных пород // А. Ф. Кильгин, С. Н. Игнатов, Ю. И. Клянов, В. Д. Урема. М.: Недра, 1986.
4. Гайдуков Э. Э., Чорбаджян Э. М. Оборудование для дробления базитового камня // Сервисные машины и оборудование для промышленности строительных материалов. ЦНИИ ГЭС ГРОДМАШ. М., 1986. Вып. 3.

ВНИМАНИЮ РУКОВОДИТЕЛЕЙ ПРЕДПРИЯТИЙ

Лаборатория жаростойких бетонов института «Термоизоляция» оказывает услуги по совершенствованию футеровки промышленных печей и котлов:

- для замены дефектных и дорогостоящих огнеупоров предлагает составы и технологию жаростойких бетонов с использованием местных материалов и отходов производств;
- разрабатывает эффективные многослойные футеровки печей, эксплуатируемых в областях строиндустрии, нефтехимии, машиностроении;
- выполняет диагностику футеровки и принимает заказы на изготовление ее элементов.

Просим обращаться по адресу:
Литовская Республика, 232657, Вильнюс, ул. Линкмянус, 28.
Институт «Термоизоляция». Директор В. Нирагис,
зав. лабораторией С. Гоберис.
Тел. 75-22-31.

Для асбестовой и других отраслей промышленности

Одной из эффективных форм продвижения научно-технической продукции на рынок являются традиционные международные выставки «Стройиндустрия». ВНИИпроектасбест регулярно участвует в них. На выставке «Стройиндустрия-91» институт представляет целый комплекс своих разработок.

Являясь отраслевым по асbestовой промышленности, ВНИИпроектасбест выполняет исследования в широком тематическом диапазоне, в том числе в таких областях техники, как технология добычи полезных ископаемых открытым способом, механизация вспомогательных работ в карьере, технология обогащения руды, разработка дробильного, измельчительного, классифицирующего и сепарирующего оборудования, пневмотранспорт и аэрификация, автоматизация и экономика и т. д.

В этот раз на стенде института были представлены разработки, которые могут быть применены не только в асbestовой, но и в других отраслях промышленности. Среди них - дробилка роторная, грохоты центробежного действия (ГИД-1500, ГИД-2000), линейно-кругового движения (ЛЛК), многоситовый

(МГ-4), барабанный классификатор, сепараторы, центробежный противоточный и каскадный, агрегаты для монтажа и перевозки шир АЭП (АМПОЛ), для монтажа контактной сети (АКМКС), перевозки кабеля АПК, путепереукладчик ПТ-25Т, линии упаковки и термоусадочную пленку.

Анализ вопроса на выставке показал, что наибольший интерес для многих посетителей стенда представила дробилка роторная для сыпучих материалов крупностью менее 60 мм. Приведена она вложение специалистами малыми габаритами (1640×1110×840), низкими удельной энергоемкостью (1,5-2 кВт на 1 т в час) и массой (1170 кг), компактностью. Производительность ее до 15 т/ч оптимальна для небольших технологических линий по подготовке сырья (извести, как сухой, так и влажной глины, шлака, песка и т. д.) для производства кирпича, строительных блоков и др. Ударное дробление с одновременной сепарацией фракций, удаляемой в виде сформированного потока аэросмеси, регулируемости режимов обеспечивают заданное качество кирпичного продукта (рис. 1).

В настоящее время в качестве

товара институт предлагает не только техническую документацию, но и технологические исследования на материалы заказчика с определением режимных параметров, изготовление пробочки, ее монтаж, наладку и авторский надзор.

Существующая тенденция строительства малых объектов по производству строительных материалов обусловила спрос на устройства фракционирования сыпучих компонентов. Этим требованиям отвечают вышеупомянутые грохоты разных модификаций, представленные институтом на выставке. Они позволяют решать задачу четкого разделения любых сыпучих материалов на фракции по крупности, но скоростям витания, по упругости и трению, составляющих компонентов. Удобство обслуживания, соответствие нормам экологической безопасности предопределяют возможность их широкого использования.

Впервые в экспозиции института представлен грохот нового поколения линейно-кругового движения, ситовая поверхность которого имеет изменяющуюся по фирменной траектории движения в горизонтальной плоскости - от эллипсоидной в загрузочной части до ли-



Рис. 1. Роторная дробилка

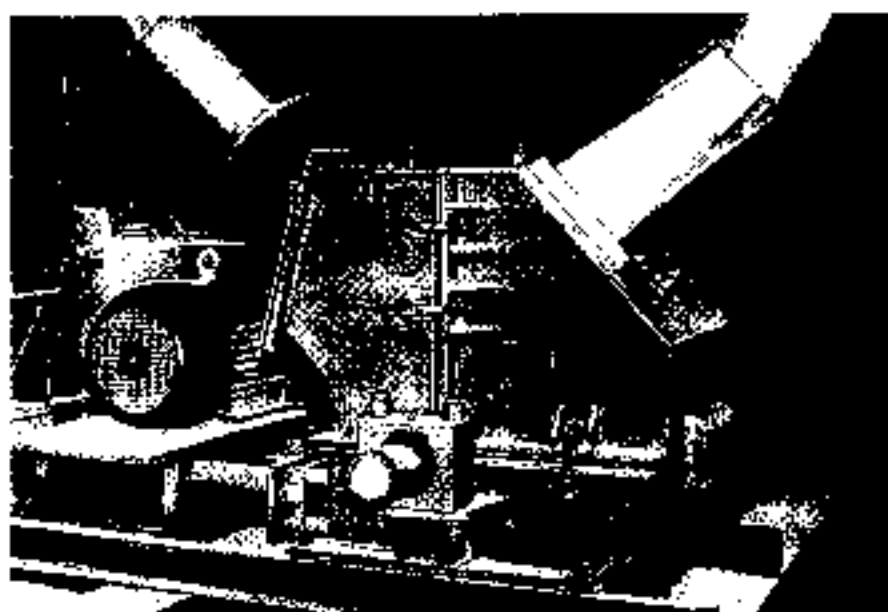


Рис. 2. Путепереукладчик ПТ-25Т

нейкой в разгрузочной. Благодаря такому движению при перемещении обрабатываемого материала обеспечивается интенсивный сдвиг частиц его относительно скатой поверхности, чем повышается эффективность разделения. Кроме того, изнашивающиеся поверхности в грохоте защищены легкосъемными износостойкими футеровками, что снижает трудозатраты на ремонт и повышает эксплуатационную надежность, а размещение привода в торце грохота делает его эргономичным.

Многие специалисты проявили интерес к агрегатам АМПОЛ, АК МКС, АЛК, ПТ-25Т (рис. 2), использование которых позволяет расширить функциональные возможности базовой техники (бульдозеров, тракторов), снизить трудоемкость выполняемых работ.

При разработке всех вышепере-

численных объектов перед исследователями стояла задача создания техники, простой в изготовлении. И эта задача выполнена: дробилки, грохоты, средства механизации вспомогательных работ в карьере могут быть изготовлены в условиях ремонтно-механических заводов предприятий.

К удовлетворяющим этому требованию техническим решениям относится модернизация эксцентриковых узлов конусных дробилок среднего и мелкого дробления Уралмашзавода, которая исключает затраты на ремонт эксцентриковых узлов в течение всего периода эксплуатации дробилок.

Требование сохранности при транспортировке строительных материалов обусловило активный интерес посетителей выставки к линии упаковки в термоусадочную пленку, пригодную для прямо-

угольных предметов в широком диапазоне размеров и массы.

Основу всех разработок составляют изобретения, запатентованые в СССР.

Первые результаты участия в выставке свидетельствуют о том, что цель его, состоящая в изучении спроса на разработки института, определение организаций и предприятий, перспективных с позиций сотрудничества, достигнута. Кроме того, сразу после выставки в институт начали поступать запросы, заключающиеся в договорах на экспонировавшиеся объекты.

В заключение хочется отметить хороший уровень услуг по оформлению и эксплуатации стенда, оказанных кооперативом «Эксполартнер».

С. А. ШКАРЕДНАЯ, стендист,
зав. лабораторией сектором
ВНИИпроектасбеста

УДК 662.998.061.4.

• Теплоизоляционные материалы

Отечественные теплоизоляционные материалы были представлены в основном профилирующими в этой области организациями — Государственным институтом «Термоизоляция» (Литовская республика), ВНИИ теплопроектом, входящим в концерн «Степс» (б. Главтепломонтаж Минмонтажспецстроя), организацией арендаторов «Термоизоляционный проект», преобразованной из Прибалтийского отделения Гипростройматериалов, Донецким заводом теплоизоляционных материалов, а также Конструкторско-технологическим институтом концерна «Росюгстрой», ЦНИИСК им. В. А. Кучеренко и др.

Для теплоизоляции строительных конструкций институт «Термоизоляция» рекомендует теплоизоляционные плиты РС и SC. Их изготавливают на основе вспученного перлита (плиты РС), льняной костиры (плиты SC) и отходов бумажного производства. В зависимости от состава плиты относятся к горючим трудновоспламеняющимся и трудносгораемым (плита РС) или к горючим трудновоспламеняющимся (плита SC) материалам, экологически чистым.

Размеры плит обоих видов одинаковы — длина 600, ширина 600, толщина 40, 50 мм.

Плотность материала плит — 250 кг/м³; прочность при сжатии — 0,35—0,4, при изгибе — 0,35 МПа. Водопоглощение у плит РС — 20 %, во массе, у плит SC — вдвое больше. Теплопроводность плит РС — 0,077, плит SC — 0,075 Вт (м·К).

Для производства теплоизоляционных плит РС и SC спроектированы технологические линии производительностью 10 тыс. м³ в I год.

Для производства теплоизоляционных изделий из минеральной ваты и стекловаты разработано нетоксичное связующее «OLI». Теплоизоляционные изделия, полученные с применением связующего «OLI», соответствуют всем санитарно-техническим требованиям

для жилых и общественных зданий, сооружений и строений агропромышленного комплекса и могут применяться для конструкций зданий типов А, В, В.

Связующее «OLI» изготавливают марок А, В, Д, Е. Связующее первых трех марок применяют в изготовлении плит, а марки Е — для обестыливания матов.

Физико-механические показатели теплоизоляционных плит из минеральной ваты на связующем «OLI» представлены в таблице.

ВНИИ теплопроект (входящий сейчас в концерн «Степс») знакомил посетителей выставки как с новыми теплоизоляционными материалами, так и с технологией их производства, измерительными приборами, сложными пистолетами для антикоррозионных покрытий и конструкциями.

Теплоизоляционный материал лингонперлит является хорошей тепловой изоляцией ограждающих конструкций стен и кровли, а также оборудования и трубопроводов, у которых температура изолируемых

Показатели	Значение для марки		
	75	125	175
Плотность, кг/м ³	50—75	75—125	125—175
Сжимаемость, %	Не более 15	Не более 6	Не более 4
Сжимаемость после сорбционного увлажнения, %	—	Не более 20	Не более 8
Теплопроводность при (298±5) К, Вт/(м·К)	0,047	0,049	0,052
Содержание связующего в минерализованной ковре, %	3—5	5—10	6—11

поверхностей достигает 200 °С.

Такая изоляция может быть выполнена в виде плит размером 1000×500×50(80) мм, а также в виде полуцилиндров любых размеров.

Лигнoperлит относится к негорючим или трудногорючим материалам (в зависимости от содержания связующего). С точки зрения токсичности -- нейтрален.

В качестве связующего при получении лигнoperлита используют лигносульфонаты - побочный продукт производства целлюлозы.

Технология изготовления лигнoperлитовой изоляции малоэнергоменная. Отсутствуют токсичные выбросы и жидкие отходы. Влажность сырьевой смеси — 20-30 %. Продолжительность сушки изделий 1,5-2 ч при температуре 210-220 °С.

Отформованные и высушенные в конвейерной сушилке плиты покрывают защитной пленкой, которая закрепляется затем последующей сушкой изделий в течение 3-5 мин.

Производительность одной конвейерной технологической линии -- 15 тыс. м³ в 1 г.

Физико-механические показатели лигнoperлита: плотность — 175-225 кг/м³; прочность, МПа: при сжатии — 0,3-0,5; при изгибе 0,2-0,3; теплопроводность 0,059-0,065 Вт/(м·К); водопоглощение — 5-6 % по объему.

Высокотемпературный теплоизоляционный материал термоперлант предлагается применять в качестве несгораемой тепловой изоляции судов, в противожарных перегородках судов, в ограничивающих конструкциях зданий, а также для тепловой изоляции оборудования и трубопроводов с температурой изолируемых поверхностей до 580 °С. Выпускается в виде плит.

Термоперлант относится к несгораемым материалам, токсически нейтрален.

Технология производства термоперлита так же, как и лигнoperлита, характеризуется малой энергоменностью, отсутствием жидких отходов. Производительность одной конвейерной линии с «полусухим формованием» — 10 тыс. м³ в 1 г.

Физико-механические показатели термоперлита: плотность — 150-250 кг/м³; прочность, МПа: при сжатии — 0,25-0,5, при изгибе — 0,2-0,4; теплопроводность при средней температуре — 25±5 °С 0,055-0,072 Вт/(м·К); линейная

температура усадка — не более 1 %.

Институтом разработан способ получения минерального супертонкого волокна толщиной до 3 мкм, а при перегретых расплавах до 1-2 мкм.

Названный способ, которыйложен в основу производства безобкладочных теплоизоляционных матов, в 10-15 раз интенсивнее дуплекс-процесса и газопламенного раздува и позволяет значительно сократить энергетические и материальные затраты.

Эжекционные дутьевые головки с акустическим резонатором позволяют одновременно с получением минерального супертонкого волокна распылять связующее с высокой степенью равномерности.

Основные показатели технологического процесса: производительность — 1000 кг/ч; установленная мощность применяемого оборудования — 700 кВт; расход топлива (газа) — 200 м³/ч; масса — 110 т. Размеры технологической линии, м: длина — 60, ширина — 15, высота — 10. В смену ее обслуживают 6 чел.

Безобкладочные маты, изготовленные из минерального супертонкого волокна — высокоеффективные рулонные теплоизоляционные изделия, характеризующиеся (при среднем диаметре волокна 3 мкм) следующими показателями: плотностью 35-50 кг/м³; теплопроводностью при 25±5 °С 0,041 Вт/(м·К); количество связующего по массе — не более 6 %. Размеры матов, м: длина — 1000-5000; ширина — 500-1000, толщина — 50.

Связующим в теплоизоляционных безобкладочных матах служат ПВА, смола СФЖ-3056, модифицированные фенолосириты, жидкое стекло и др.

На стадии концерна «Степс» привлекали внимание слоистые пластики широкой гаммы цветов, полученные из полимерного сырья.

Трест «Востокхимзащита» сотрудничает со специализированным институтом «Проектхимзащита» и научно-исследовательскими организациями и лабораториями страны в области создания антикоррозионных защитных покрытий полов, фундаментов, резервуаров-хранилищ, очистных сооружений, различного ёмкостного оборудования, а также изготовления ёмкостной аппаратуры и выхлопных труб, конструкций из слоистых пластиков.

Указываются составы слоистых пластиков: полизобутилен марки ПСГ+стеклопластик на эпоксидной смоле ЭД-16; винилласт марки ВИ+полизобутилен марки ПСГ+стеклопластик на эпоксидной смоле ЭД-16; углепластик на фенольной смоле, армированный тканью «Текарм»+стеклопластик на эпоксидной смоле ЭД-16 и др.

Трест «Востокхимзащита» рекламировал эффективные покрытия в различных вариантах: футеровка штучными кислотоупорными материалами, полученными на основе химически стойких вяжущих, защиты поверхностей лакокрасочными материалами, в том числе элоксиальными, перхлорвиниловыми, мастичными составами, листовыми пластмассами, жидкими резиновыми смесями и др.

Конструкторско-технологический институт концерна «Россстройстрой» разработал утеплители для теплоизоляции кровель зданий, тепловых агрегатов, трубопроводов различного назначения из местных недорогих материалов.

Гипсошлакополистирольный монолитный утеплитель изготавливают на основе строительного гипса, молотого гранулированного шлака, пенополистирольного заполнителя и применяют для теплоизоляции кровель зданий различного назначения.

Такой утеплитель имеет плотность 50-250 кг/м³, прочность при сжатии 0,3-0,5 МПа, теплопроводность 0,065-0,075 Вт/(м·°С). Он морозостоек, водостоек, относится к категории трудногораемых.

На гипсошлакополистирольный утеплитель разработаны ТУ 65.600-88. Создан проект мобильного комплекса по изготовлению, укладке монолитного гипсошлакополистирольного утеплителя, действующего на базе полуприцепа сантехкабины с тягачом ЗИЛ-13061-80. В комплекс входят дозировочная установка, склады полистирольного заполнителя, гипса, молотого шлака, две смесительные установки, тележки, виброрейки, системы трубопроводов и пульт управления.

Производительность комплекса — 450-500 м² в смену при толщине слоя утеплителя 100 мм. Численность обслуживающего персонала — 5-6 чел. Себестоимость 1 м³ утеплителя — 65-70 р.

Перлитолигосиликатный жесткий плитный утеплитель получен на

основе технического лигносульфата (СДБ), глины и вспученного церлитового заполнителя. Он обладает повышенными характеристиками по сравнению с распространёнными традиционными теплоизоляционными материалами и служит для теплоизоляции кровель, тепловых агрегатов, трубопроводов и др. Плотность материала — 175—250 кг/м³; прочность при сжатии — 0,3—0,7 МПа; теплопроводность — 0,06—0,07 Вт/(м·°С); морозостойкость — не менее 50 циклов; водонаглощение по объему — 5—7 %, трудосгораем.

Технология производства плитного утеплителя высокомеханического и экологически безвредна. Плиты формуют на прессе из полусухой массы. Изделия сушат в течение 6—7 ч при температуре не выше $220 \pm 5^{\circ}\text{C}$. Число работающих в смену 10—12 чел. Производительность технологической линии — 40 тыс. м³ в 1 год.

Производство перлитолитносиликатных плит рекомендуется организовывать в цехах по изготовлению

перлитобитумных плит с использованием существующего оборудования.

Для теплоизоляции же кровель может быть использован теплоизоляционный материал «Тиор», изготавляемый в виде плит на основе отходов целлюлозно-бумажного производства, разработанный Центральной научно-исследовательской лабораторией Мособлстрой-ЦНИИЛ Мособлстройкомитета.

Технические характеристики пленки «Тиор»: плотность -- 200--300 кг/м³; теплопроводность -- 0,63--0,87; предел прочности при изгибе -- 0,1--0,2 МПа; водонаглощениие -- 23--40 % по массе.

Один из вариантов утепления крыши зданий и сооружений предложен Научно-исследовательским институтом сейсмостойкого строительства (г. Ашхабад) и представлен на стенде организаций, входящих в Союз строителей СССР. Утепление устраивается из асфальтового керамзитопастобетона — искусственного асфальтового материала, получаемого путем перемешивания

керамзитового гравия с битумной эмульсионной пастой.

Теплоизоляционное покрытие создаются путем укладки на кровлю асфальтового керамзитоцементобетона и уплотнения его до толщины 5—20 мм. Характеристика такого покрытия: плотность — 550—650 кг/м³; предел прочности при сжатии — 0,6—0,7 МПа; теплопроводность — 0,16—0,18 Вт/(м·К).

Технология нанесения покрытия проста. Покрытие экономично и долговечно.

В этой информации мы представили только часть теплоизоляционных материалов, разрабатываемых и изготавляемых отечественными научно-исследовательскими, проектными и производственными организациями и экспонированными на выставке-ярмарке. В следующих номерах продолжим знакомить читателей с современными материалами — утеплителями и термоизоляцией, проектными решениями, оборудованием, связанными с их производством.

Л. С. ЭЛЬКИШ виж

Продукция Донецкого завода изоляционных материалов

На 3-й Международной выставке-ярмарке «Стройиндустрия-91» демонстрировал свою продукцию — теплоизоляционные материалы разных видов для тепловой изоляции промышленного оборудования, трубопроводов, транспортных средств Донецкий завод теплоизоляционных материалов.

Минераловатные прошивные строительные маты по ТУ 21-31-64-88 с одно- и двухсторонней обкладкой из стеклохолста размером 2000×1000 мм, толщиной 50, 65, 80 мм. Плотность матов 100—125 кг/м³; теплопроводность при 25 °С — 0,044 Вт/(м·К); нормальный коэффициент звукопоглощения при толщине 65 мм на частоте 2000 Гц — 0,8. Маты можно применять для теплозвукоизоляции сооружений и оборудования при температуре стеклокартонов до 450 °С.

Прошивные теплоизоляционные маты по ТУ 21 УССР 356-83 с наполнителем из базальтового супертонкого волокна, безобкладочные и в оболочке из стеклоткани, размером 2500×500 мм, толщиной 30, 40, 50, 60, 70 мм. Плотность на-

полнителя 50 кг/м³. Теплопроводность при 25 °C — 0,038, при 125 °C — 0,065 Вт/(м·К). Маты применяют для тепловой изоляции промышленного оборудования, в том числе подверженного вибрации, при температуре стенок до 700 °C.

Теплоизоляционные шнуры диаметром 50 мм по ТУ 36.16.22-33-89 с наполнителем из минеральной ваты. Длина шнуря в бухте 15 м. Плотность материала 325-375 кг/м³. Технодинамика при 25 °C — 0,066 Вт/(м·К). Шнуры применяют для тепловой изоляции грубопроводов при температуре стенки до 600 °C.

Теплоизоляционные шнуры такого же диаметра с наполнителем из базальтового супертонкого волокна. Плотность наполнителя 75—100 кг/м³; теплопроводность при 25 °С ≈ 0,053 Вт/(м·К). Назначение шнуроов то же, но при температуре стенок до 700 °С.

Теплоизоляционный картон по РСТ УССР 1951-84 на основе ба-

зальтового супертонкого волокна, размером 1000×850 и толщиной 5 мк примениют для тепловой изоляции оборудования при температуре стеклок от -260 до +700 °С, а также в качестве огнезащитных прокладок. Плотность картона до 250 кг/м³; теплопроводность при 250 °С = 0,045 Вт/(м·К).

Пенополистирольные плиты и блоки по ГОСТ 15588—86, изготавливаемые из самозатухающего пенополистирола служат для теплозвукоизоляции оборудования, зданий, сооружений и транспортных средств при температуре стенки до 80 °С. Размер изделий 1000×1000 мм, толщина 50, 100 мм и 2000×1000×500 мм. Плотность — до 25 кг/м³. Теплопроводность при 25 °С — 0,039 Вт/(м·К).

Поливинилхлоридные облицовочные рельефные листы по ТУ 21-29-86-81 из жесткой ПВХ пленки толщиной 0,4; 0,6; 1 мм. Размер листов 1800×900 мм. Листы являются хорошей гигиеничной декоративной внутренней облицовкой стен в общественных и промышленных зданиях.

СИБИРСКИЙ НАУЧНО-ИССЛЕДОВАТЕЛЬСКИЙ И ПРОЕКТНЫЙ ИНСТИТУТ ЦЕМЕНТНОЙ ПРОМЫШЛЕННОСТИ **«СИБНИИПРОЕКТЦЕМЕНТ»**

[г. Красноярск]

**БОЛЕЕ 30 ЛЕТ ОСУЩЕСТВЛЯЕТ
НАУЧНОЕ ОБСЛУЖИВАНИЕ ЦЕМЕНТНЫХ
ЗАВОДОВ И ПРЕДПРИЯТИЙ ДРУГИХ
ОТРАСЛЕЙ, В ОСНОВНОМ,
ВОСТОЧНЫХ РАЙОНОВ СТРАНЫ.**

**ЗА ЭТОТ ПЕРИОД НАКОПЛЕН
ЗНАЧИТЕЛЬНЫЙ ОПЫТ В РЕШЕНИИ
НАУЧНО-ТЕХНИЧЕСКИХ ВОПРОСОВ
ПО ПРОБЛЕМАМ ЦЕМЕНТНОГО
ПРОИЗВОДСТВА.**

**ВЫСОКОКАЛИФИЦИРОВАННЫЕ
СПЕЦИАЛИСТЫ ИНСТИТУТА
ПРЕДЛАГАЮТ СВОИ УСЛУГИ ПО
СЛЕДУЮЩИМ НАПРАВЛЕНИЯМ:**

- исследования сырья и промышленных отходов для использования в цементном производстве;
- разработка технологических регламентов для проектирования новых цементных заводов, в том числе мини- заводов;
- разработка технологии малозергоемких общестроительных и специальных цементов различного назначения, в том числе новых перспективных видов цементов с низким расходом клинкера (ВНВ, ТМВ, малоклинкерное вяжущее);
- использование в качестве технологического топлива для обжига клинкера низкосортного твердого топлива, в том числе тощих, бурых и многозольных углей, усовершенствование технологии углеподготовок и систем сжигания угольного топлива;
- разработка новых, модернизация эксплуатируемых печных агрегатов для обжига клинкера (эффективные теплообменные устройства, усовершенствованные холодильники клинкера, теплоутилизаторы вторичного тепла, топливные горелки, декарбонизаторы на твердом топливе и др.);
- механизация трудоемких процессов цементного производства.

Конструкторское бюро и малое экспериментальное предприятие в составе института могут разработать документацию на устройства и установки по вышеуказанным направлениям, осуществить авторский надзор, изготовить головные образцы и серии оборудования и оказать научно-техническую помощь во внедрении.

При институте функционирует государственный испытательный центр, который за умеренную плату проводит испытания качества всех видов цемента для производителей и потребителей цемента.

Применяется абонементное обслуживание заказчиков. Институт может оказать помощь и услуги в разработке нормативно-технической документации на использование в производстве цемента различных материалов, в том числе с учетом требований экологии.

Институт располагает современными приборами для исследований, компьютерной техникой, что гарантирует высокий технический уровень работ.

Специалисты научной части СибНИИ-проектцемента предлагают на договорной основе свои последние разработки:

1. ТЕХНОЛОГИЯ ПРОИЗВОДСТВА СПЕЦИАЛЬНЫХ ЦЕМЕНТОВ

Специалисты производят оценку пригодности природного и искусственного сырья для производства цемента, разрабатывают технологию, нормативную документацию, методы контроля различных специальных цементов (сульфатостойкие, тампонажные, цементы для теплоизоляционной обработки, с повышенной прочностью при изгибе, малозергоемкие, магнезиальные цементы из природных магнезита или доломита, дорожные и др.) и осуществляют авторский надзор за освоением их производства.

2. МАЛОКЛИНКЕРНЫЙ ЦЕМЕНТ

Предназначен для использования во внутренних подводных и подземных зонах массивных сооружений. Может применяться для изготовления неармированных бетонов М 100—200, строительных растворов, при производстве кладочных, облицовочных и штукатурных работ. Представляет интерес для местного, особенно сельского строительства. Состав цемента: 10—20 % клинкера; 75—85 % доменного граншлака, 4—5 % гипса, часть шлака в цементе может быть заменена технологическими отходами цементного производства. Марка цемента 200. Экономический эффект от выпуска на цементном заводе 1 т малоклинкерного цемента составляет 6—7 р., от применения — 1,5—2 р. на 1 м³ бетона.

3. ПОРТЛАНДЦЕМЕНТ С ДОБАВКОЙ ЦЕОЛИТСОДЕРЖАЩЕЙ ПОРОДЫ

Портландцементы с цеолитсодержащей породой получают совместным измельчением клинкера, гипса и добавки в количестве до 20 % от массы цемента. Применение породы позволяет повысить прочность цемента на 5—10 % при тепловлажностной обработке, на 5—25 % — при нормальном твердении, повысить производительность мельниц на 5—12 % и др.

Разработаны, утверждены и введены в действие технические условия на цеолиты природные для цементной промышленности, в соответствии с которыми осуществляется выпуск портландцементов с добавкой цеолитсодержащей породы.

Экономический эффект от использования данной породы в качестве активных минеральных добавок составляет 1—1,5 р/т цемента.

4. СПОСОБ ТЕПЛОЗАЩИТЫ СЫРЬЕВЫХ И ТОПЛИВНЫХ МАТЕРИАЛОВ

КАРЬЕРНО-СКЛАДСКИХ ХОЗЯЙСТВ ВЫСТРОТВЕРДЕЮЩИМИ ПОЛИМЕРНЫМИ ПЕНАМИ (ВТП)

Способ предусматривает нанесение на утепляемые материалы слоя пенопласта, получаемого с помощью пеногенерирующей установки (ПГУ). Нанесение пенопласта производится до наступления морозов. Толщина слоя покрытия составляет 0,2—0,4 м в зависимости от вида утепляемого материала. В целом приведенные затраты на изготовление 1 м² покрытия составляют 0,38—0,6 р/м².

Способ может быть использован и для других тепло-шумоизоляционных работ, утепления чердачных перекрытий и кровлей, полых стен, металлических конструкций, фундаментов, траншей, котлованов и других инженерно-технических конструкций, шламбассейнов групповых водоводов, канализаций и теплотрасс.

5. ОГНЕВОЙ СТЕНД ДЛЯ ПОДГОТОВКИ И ЭКСПЕРИМЕНТАЛЬНОГО СЖИГАНИЯ ТВЕРДОГО ТОПЛИВА

Предназначен для отработки технологии подготовки и сжигания нетрадиционных для цементной промышленности твердых топлив, в том числе низкосортных бурых углей, продуктов переработки предприятий угледобывающей и углерабатывающей промышленности, разработки для них оптимальных режимов сжигания и специальных горелочных устройств.

Кроме того, возможно экспериментально исследовать в работе различные конструкции горелочных устройств, способы и режимы сжигания твердого топлива.

6. УСТРОЙСТВА И УСТАНОВКИ ДЛЯ МЕХАНИЗАЦИИ ТРУДОЕМКИХ ПРОЦЕССОВ

Институтом разработана документация на устройства и установки, которые в настоящее время внедрены на ряде предприятий:

- Пневмоимпульсное устройство (ПИУ), обрушает зависшие материалы, интенсифицирует процесс истечения их из технологических емкостей. Устройство просто в изготовлении.
- Профилактический пункт для нанесения на внутренние поверхности транспортных средств жидкостей, препятствующих примерзанию и прилипанию влажных материалов.
- Устройство для очистки лент конвейеров от налипших материалов с малой, средней и высокой влажностью. Возможно использование в промышленности стройматериалов, горнорудной и других отраслях народного хозяйства.
- Устройство для электрообогрева ковша экскаватора предотвращает замерзание глинистых частиц на стенки ковша, повышает производительность экскаватора в зимнее время от замерзшего материала.
- Устройство для электророзжига предназначено для вращающихся печей, использующих твердое топливо с высоким содержанием летучих (25—27 %). Устройство включает в себя новую конструкцию горелки с запальным устройством. Применение устройства позволяет значительно увеличить коэффициент использования печных агрегатов, повысить культуру труда.
- Бурорыхлительные машины СРК-21 используются для механизации разгрузки смерзшихся влажных сыпучих материалов, поступающих от поставщиков транспортом МПС. Рыхление смерзшихся материалов осуществляется посредством щатового бурения или фрезерования бурорыхлительной машиной. СРК-21 разрыхляет смерзшийся материал с прочностью до 6 МПа. Ожидаемый экономический эффект составляет 58 тыс. р.

7. ПАКЕТ ПРОГРАММНЫХ СРЕДСТВ «РОТОР»

Предназначен для проведения проверочного теплового и конструкторского расчетов цепных теплообменных устройств вращающихся печей.

Пакет программных средств содержит подпрограммы:

расчетов горения топлива (газ, мазут, уголь);
расчет двух-, трех-, четырехкомпонентной сырьевой шахты (в том числе со сложными компонентами);
расчеты материального и теплового баланса печей (в том числе позиционные расчеты);
балансовые и тепловые расчеты зоны теплообменных устройств;
конструкторские расчеты теплообменных устройств.

*По вопросу заключения договоров, приобретения технической документации и организации работ обращаться по адресу:
660080, г. Красноярск, ул. Семафорная, 329.*

*СибНИИпроектцемент. Научная часть.
Телефон: 34-04-37; 34-74-61. Телематик 288258
Поиск. Наш р/с 581802 в ФКБ «Енисей»,
МФО 144784*

УДК 666.973.6.012

И. К. КАСИМОВ, д-р техн. наук, Н. Ф. БАХРИЕВ, инж., А. А. ТУЛАГАНОВ,
канд. техн. наук, М. К. ХАСАНОВА, канд. техн. наук (Ташкентский
политехнический институт им. А. Беруни)

Повышение качества кладочных растворов для сейсмостойкого строительства

Вопросы повышения надежности зданий, производимых в сейсмических районах, и эффективности затрат наемых средств для антисейсмических мероприятий требуют поиска нового направления.

Изложенный анализ показывает, что сейсмостойкость кирпичных зданий (состоит из кирпича из спанчного кирпича) в большинстве случаев определяется стойкостью кирпича за пределами монолитности кирпича (такое соединение получено за счет раствором). При этом это защищает и том, что цементно-известковый кладочный раствор, как правило, мало взаимодействует с кирпичом, и действие усиливается со временем из-за вымывания уходящих из раствора минеральных и органических примесей.

На кафедре «Строительных материалов» Ташкентского политехнического института им. А. Беруни проведены исследования по обесцементированию высокой кладочных кирпичей из спанчного кирпича. Поставленная цель достигнута в результате применения специального разработанных кладочных растворов, которые позволяют увеличить прочность сцепления кирпича в 2,7 раза по сравнению с аналогичными новыми кирпичами I категории хлебного сейсмостойкости. На разработанную составу покушеню и календарно по раствору получены положительные результаты ВНИИГИЛЭ по методике лабораторного сцепления [1, 2]. Полученные на основе результатов исследований составах растворов пропущены промышленную пробацию в производственных группах № 7 и № 167 Минстроя Узбекской ССР.

Несомненным достоинством является обоснованную способность разработанных составов растворов к контактирующим с кирпичом раствором.

Можно судить о прочности сцепления кирпича по характеру разрушения на образцах при первом разрывении, то при измельчении стекло основе испытания даемых растворов и боязни разрушение следует разрушение происходит по кирпичу или раствору из-за контакта зоны бетонной монолитной (рис. 1). Результаты исследования в полуразрезе показали образование «двойки» и предположить, что при разрывании испытываемых предлагаемых растворов может быть разрушение зоны контакта монолитности стекла с кирпичом, обусловлено уязвимостью конструкций из монолитных блоков в микротрещинах, возникающих в микротрещинах материала при сжатии кирпича при помехи гравитации [3].

Для более глубокого изучения физико-химических процессов, происходящих в контактной зоне кир-

пажи-кирпичный кирпич, и выявление условий формирования химической связки между ними был проведен комплексный исследований на основе современных методов.

Одной из важных характеристик, определяющей способность контактирующей и монолитной контактной зоны, является микроверность поверхности, составляющих эту зону. Для определения изменения микроверности в контактной зоне и гладкости контактной зоны и зависимости от вида применяемого раствора были изготовлены образцы размером 5×3×0,5 см. Микроверность и толщину контактного слоя определили на измерительной аппаратуре измеряющей растворимость плавикового кирпича при помощи гравиметрии ПМГ-5 [3].

Несомненно, частота колебаний раствора на микроверность, вибра-

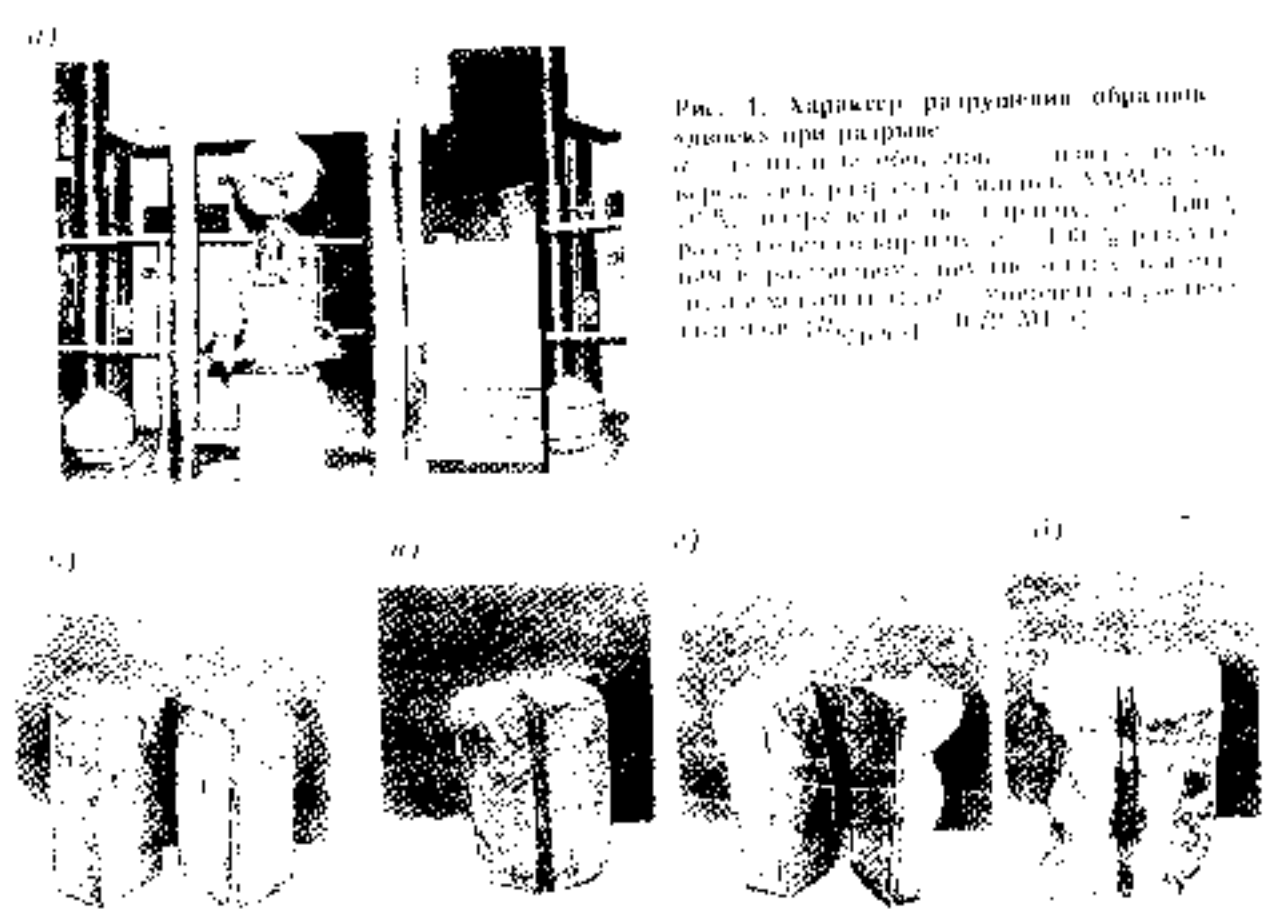


Рис. 1. Характер разрушения образцов кирпича при разрыве:
а – разрыв в растворе; б – разрыв в кирпиче; в – разрыв в зоне контакта кирпича с раствором; г – разрыв в кирпиче. Глубина разрушения в зоне контакта кирпича с раствором составляет 0,25–0,30 см.

тактной зоне «раствор-силикатный кирпич». Результаты их испытаний представлены в таблице.

Анализ результатов испытаний показал, что микротвердость новообразований в контактной зоне зависит от состава кладочного раствора. Для растворов, изготовленных на основе несиликатных щелочных компонентов, микротвердость составляет 537—804 МПа, что в 1,5—2 раза больше значений микротвердости в аншлифах, полученных из цементно-известковых кладочных растворов (110—227 МПа). Максимальные значения микротвердости отмечены в растворах, приготовленных на основе силикатных щелочных компонентов (1115—1328 МПа).

Увеличение микротвердости контактного слоя между разработанными составами и силикатным кирпичом можно объяснить тем, что из-за высокой активности и реакционной способности предлагаемых шлакощелочных вяжущих из поверхности силикатного кирпича интенсивно протекают процессы химического взаимодействия в ходе адсорбции и диффузии раствора в кирпич с образованием новых минералов в контактном слое.

Для изучения физико-химических процессов и выявления продуктов новообразований в контактной зоне были использованы оптические методы анализа. Из контактной зоны вырезали пластинки размером 3×2×0,5 см и изготовили прозрачные шлифы, которые рассматривали с помощью микроскопа ПОЛОМ Р-113 с увеличением в 300—400 раз.

Результаты оптических исследований позволили установить следующую картину химического взаимодействия в контактной зоне (рис. 2).

Контактная зона между цементно-известковым раствором и поверхностью силикатного кирпича не ярко выражена распыльчатая. Заметна диффузия двух веществ, особенно интенсивное проникновение цементного молока в поры и трещины кирпича. Реакционные каскады не наблюдаются. Контакт непрочный. Отмечены разрывы по всей плоскости соприкосновения раствора с кирпичом вследствие его недостаточной адгезии с последним. В контактной зоне зафиксированы накопления светлых гелеобразных фаз предположительно легких пористых гидратов типа портландита и карбонатной кальциита. Ширина

Вид кладочного раствора	Ширина контактной зоны, мкм	Микротвердость, МПа	
		раст- воро- ной части	кон- такт- ной зоны
Цементно-известковый (контрольный вариант)	70—100	227,2 110,6 210,3	197,2 318,7 315,7
1:0,7:8			
Шлакощелочный на основе несиликатных щелочных компонентов — содосульфатной смеси (ССС)	105—150	618,1 531,1 537,2	621,6 801 658,1
Шлакощелочный на основе силикатных щелочных компонентов (жидкого стекла)	120—170	631 720,5 968	1328 1132 1115

контактного слоя изменяется в пределах 70—100 мкм. В нем много микротрешин, которые являются следствием усадочных деформаций, происходящих в растворном шве.

В микрошлифах, вырезанных из шва с шлакощелочным кладочным раствором, контактная зона выражена резкой линией шириной 0,02—0,06 мм. В этой зоне сосредоточены гелеобразные продукты химической реакции бурого цвета и новообразований субмикрокристаллических размеров. Частицы малого шлака покрыты глобулами или мицеллой темного цвета.

В массе растворной смеси прослеживаются изотропные вещества темно-бурого цвета. По-видимому, это — продукты новообразований, имеющие высокие и средние двупреломления размером 0,02—0,03 мм. Продукты реакции особенно сосредоточены вокруг несиликатных частиц шлака размером

1—1,5 мм, при этом заметны разрушения и реакционные каскады. Это говорит о том, что мелкозернистые частицы песка или другие минералы, имеющиеся на поверхности силикатного кирпича, также вступают во взаимодействие с раствором. Они четко различимы на снимке (см. рис. 2, e).

Таким образом, по результатам петрографических исследований микроструктуры контгломератов, образовавшихся в контактной зоне «раствор-силикатный кирпич» вырисовывается ряд интересных физико-химических явлений, представляющих значительный научно-практический интерес.

Шлакощелочные растворы в контактной зоне создают плотную структуру с образованием щелочно-щелочноземельных микроконгломератов, которые выполняют роль матрицы, заполняя и залечивая капиллярные каналы и микротрещины на поверхности силикатного кирпича. Поэтому можно считать, что эти оболочки, плотные гелеобразные фазы и субмикрокристаллические новообразования есть основа высокой адгезии, приводящей к созданию прочного монолита между кладочным раствором и силикатным кирпичом.

Для более детального изучения процессов структурообразования в контактной зоне нами был применен метод рентгенометрического локального электронно-зондового микронализма [4], позволяющего установить картину распределения химических элементов и оксидов микроконгломерата в контактной зоне. Концентрацию этих элементов в контактной прослойке определяли

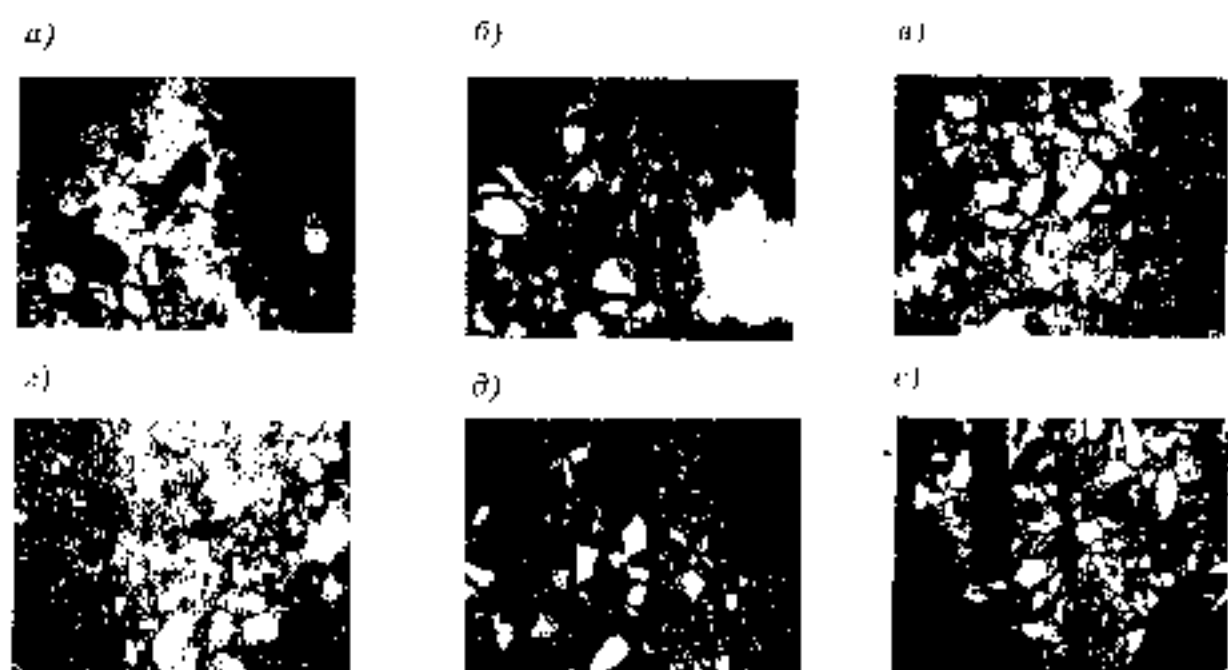


Рис. 2. Микроструктура контактных зон «кладочный раствор-силикатный кирпич»:
а — цементно-известковой раствор, Ув, ×300; б — то же, Ув, ×400; в — шлакощелочный раствор на основе содо-сульфатной смеси, Ув, ×300, г — то же, Ув, ×400; д — шлакощелочный раствор на основе жидкого стекла, Ув, ×300; е — то же, Ув, ×400

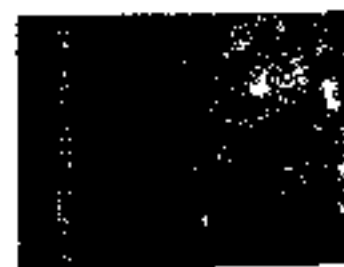


Рис. 3. Микроструктура контактной зоны между цементно-известковым кладочным раствором и кирпичом

а — структура образца № 1 X400; б — то же, № 2 X400; в — распределение кальция и рения в основных импульсах № 1 и № 2 X400; г — то же, крекинг; д — то же, включения; е — то же, жесткое. (Справка: цементный кирпич, слоя цементного известкового минерального раствора)



Рис. 4. Микроструктура контактной зоны между шлакоцементным кладочным раствором и кирпичом

1 — структура образца № 1 X400; 2 — распределение кальция и рения в основных импульсах № 1 и № 2 X400; 3 — то же, крекинг; 4 — то же, паттерн; 5 — то же, жесткое. (Справка: цементный кирпич, слоя цементно-известковый карбонатный раствор)

на образцах, вырезанных из зоны соприкосновения. Они были специально подготовлены — поверхность отшлифована до требуемой кондиции и покрыта золотым напылением.

Готовые образцы устанавливали в вакуум-камеру и подвергали бомбардировке высокозарядным электронным пучком толщиной 25...50 мкм. на рентгенометрическом электронном волновом микроприводе ИСХ - 733 фирмы «Леод» (Япония) (рис. 3 и 4).

Картинка распределения химических элементов в рентгеновских импульсах (см. рис. 3) свидетельствует о значительной концентрации ионов кальция в образцах с цементно-известковым раствором. Они, как известно, способствуют интенсивному образованию на поверхности кирпича карбонатной

корки, которая образует защитную прослойку и мешает проникновению адгезива в микропоры и поры кирпича.

Однако при использовании шлакоцементных кладочных растворов из-за высокой активности щелочной системы взаимодействие между кирпичом и раствором обусловлено наличием в исследуемой зоне новообразований, состоящих из этих элементов.

Изучение картин распределения основных химических элементов в контактной зоне (см. рис. 4, в) позволяет установить повышенную концентрацию натрия, что, свидетельствует об образовании щелочных новообразований и минералов щелочного происхождения в контактной зоне. Так же по мере роста концентрации натрия в контактной зоне наблюдается увеличе-

ние импульсов алюминия и кремния (см. рис. 4, в и 4, д), указывающих на наличие в контактном растворе соединений щелочных гидроалюминиевиков, которые отличаются плотной структурой и микротвердостью.

Таким образом, по результатам комплекса физико-химических исследований установлено, что шлакоцементные кладочные растворы отличаются высокими адгезионными свойствами к силикатному кирпичу и способствуют формированию плотного контакта между ними.

Разработанные стекавиа шлакоцементного нажущего и кладочного раствора на его основе можно успешно применять при устройстве стен из силикатного кирпича. Прочность нормального сцепления при этом достигает показателя 0,5-0,67 МПа, что в 2,7-3,5 раза выше значений для I категории кладки по СНиП II-7-81.

СПИСОК ЛИТЕРАТУРЫ

- Бахарев Н. Ф., Касимов И. К., Хадиева М. К. и др. / под ред. А. А. Вижуалеев // Ресурса в строительстве. — № 1. Технология № 46190066 / № 1-337 (144206) от 09.10.89
- Бахарев Н. Ф., Касимов И. К., Хадиева М. К. / Технология № 46190067 / № 1-338 (144207) от 09.10.89
- Бахарев Н. Ф., Касимов И. К., Хадиева М. К. / Технология № 46190068 / № 1-339 (144208) от 09.10.89
- Бахарев Н. Ф., Касимов И. К., Хадиева М. К. / Технология № 46190069 / № 1-340 (144209) от 09.10.89
- Бахарев Н. Ф., Касимов И. К., Хадиева М. К. / Технология № 46190070 / № 1-341 (144210) от 09.10.89
- Бахарев Н. Ф., Касимов И. К., Хадиева М. К. / Технология № 46190071 / № 1-342 (144211) от 09.10.89
- Бахарев Н. Ф., Касимов И. К., Хадиева М. К. / Технология № 46190072 / № 1-343 (144212) от 09.10.89
- Бахарев Н. Ф., Касимов И. К., Хадиева М. К. / Технология № 46190073 / № 1-344 (144213) от 09.10.89
- Бахарев Н. Ф., Касимов И. К., Хадиева М. К. / Технология № 46190074 / № 1-345 (144214) от 09.10.89
- Бахарев Н. Ф., Касимов И. К., Хадиева М. К. / Технология № 46190075 / № 1-346 (144215) от 09.10.89
- Бахарев Н. Ф., Касимов И. К., Хадиева М. К. / Технология № 46190076 / № 1-347 (144216) от 09.10.89
- Бахарев Н. Ф., Касимов И. К., Хадиева М. К. / Технология № 46190077 / № 1-348 (144217) от 09.10.89
- Бахарев Н. Ф., Касимов И. К., Хадиева М. К. / Технология № 46190078 / № 1-349 (144218) от 09.10.89
- Бахарев Н. Ф., Касимов И. К., Хадиева М. К. / Технология № 46190079 / № 1-350 (144219) от 09.10.89
- Бахарев Н. Ф., Касимов И. К., Хадиева М. К. / Технология № 46190080 / № 1-351 (144220) от 09.10.89
- Бахарев Н. Ф., Касимов И. К., Хадиева М. К. / Технология № 46190081 / № 1-352 (144221) от 09.10.89
- Бахарев Н. Ф., Касимов И. К., Хадиева М. К. / Технология № 46190082 / № 1-353 (144222) от 09.10.89
- Бахарев Н. Ф., Касимов И. К., Хадиева М. К. / Технология № 46190083 / № 1-354 (144223) от 09.10.89
- Бахарев Н. Ф., Касимов И. К., Хадиева М. К. / Технология № 46190084 / № 1-355 (144224) от 09.10.89
- Бахарев Н. Ф., Касимов И. К., Хадиева М. К. / Технология № 46190085 / № 1-356 (144225) от 09.10.89
- Бахарев Н. Ф., Касимов И. К., Хадиева М. К. / Технология № 46190086 / № 1-357 (144226) от 09.10.89
- Бахарев Н. Ф., Касимов И. К., Хадиева М. К. / Технология № 46190087 / № 1-358 (144227) от 09.10.89
- Бахарев Н. Ф., Касимов И. К., Хадиева М. К. / Технология № 46190088 / № 1-359 (144228) от 09.10.89
- Бахарев Н. Ф., Касимов И. К., Хадиева М. К. / Технология № 46190089 / № 1-360 (144229) от 09.10.89
- Бахарев Н. Ф., Касимов И. К., Хадиева М. К. / Технология № 46190090 / № 1-361 (144230) от 09.10.89
- Бахарев Н. Ф., Касимов И. К., Хадиева М. К. / Технология № 46190091 / № 1-362 (144231) от 09.10.89
- Бахарев Н. Ф., Касимов И. К., Хадиева М. К. / Технология № 46190092 / № 1-363 (144232) от 09.10.89
- Бахарев Н. Ф., Касимов И. К., Хадиева М. К. / Технология № 46190093 / № 1-364 (144233) от 09.10.89
- Бахарев Н. Ф., Касимов И. К., Хадиева М. К. / Технология № 46190094 / № 1-365 (144234) от 09.10.89
- Бахарев Н. Ф., Касимов И. К., Хадиева М. К. / Технология № 46190095 / № 1-366 (144235) от 09.10.89
- Бахарев Н. Ф., Касимов И. К., Хадиева М. К. / Технология № 46190096 / № 1-367 (144236) от 09.10.89
- Бахарев Н. Ф., Касимов И. К., Хадиева М. К. / Технология № 46190097 / № 1-368 (144237) от 09.10.89
- Бахарев Н. Ф., Касимов И. К., Хадиева М. К. / Технология № 46190098 / № 1-369 (144238) от 09.10.89
- Бахарев Н. Ф., Касимов И. К., Хадиева М. К. / Технология № 46190099 / № 1-370 (144239) от 09.10.89
- Бахарев Н. Ф., Касимов И. К., Хадиева М. К. / Технология № 46190100 / № 1-371 (144240) от 09.10.89
- Бахарев Н. Ф., Касимов И. К., Хадиева М. К. / Технология № 46190101 / № 1-372 (144241) от 09.10.89
- Бахарев Н. Ф., Касимов И. К., Хадиева М. К. / Технология № 46190102 / № 1-373 (144242) от 09.10.89
- Бахарев Н. Ф., Касимов И. К., Хадиева М. К. / Технология № 46190103 / № 1-374 (144243) от 09.10.89
- Бахарев Н. Ф., Касимов И. К., Хадиева М. К. / Технология № 46190104 / № 1-375 (144244) от 09.10.89
- Бахарев Н. Ф., Касимов И. К., Хадиева М. К. / Технология № 46190105 / № 1-376 (144245) от 09.10.89
- Бахарев Н. Ф., Касимов И. К., Хадиева М. К. / Технология № 46190106 / № 1-377 (144246) от 09.10.89
- Бахарев Н. Ф., Касимов И. К., Хадиева М. К. / Технология № 46190107 / № 1-378 (144247) от 09.10.89
- Бахарев Н. Ф., Касимов И. К., Хадиева М. К. / Технология № 46190108 / № 1-379 (144248) от 09.10.89
- Бахарев Н. Ф., Касимов И. К., Хадиева М. К. / Технология № 46190109 / № 1-380 (144249) от 09.10.89
- Бахарев Н. Ф., Касимов И. К., Хадиева М. К. / Технология № 46190110 / № 1-381 (144250) от 09.10.89
- Бахарев Н. Ф., Касимов И. К., Хадиева М. К. / Технология № 46190111 / № 1-382 (144251) от 09.10.89
- Бахарев Н. Ф., Касимов И. К., Хадиева М. К. / Технология № 46190112 / № 1-383 (144252) от 09.10.89
- Бахарев Н. Ф., Касимов И. К., Хадиева М. К. / Технология № 46190113 / № 1-384 (144253) от 09.10.89
- Бахарев Н. Ф., Касимов И. К., Хадиева М. К. / Технология № 46190114 / № 1-385 (144254) от 09.10.89
- Бахарев Н. Ф., Касимов И. К., Хадиева М. К. / Технология № 46190115 / № 1-386 (144255) от 09.10.89
- Бахарев Н. Ф., Касимов И. К., Хадиева М. К. / Технология № 46190116 / № 1-387 (144256) от 09.10.89
- Бахарев Н. Ф., Касимов И. К., Хадиева М. К. / Технология № 46190117 / № 1-388 (144257) от 09.10.89
- Бахарев Н. Ф., Касимов И. К., Хадиева М. К. / Технология № 46190118 / № 1-389 (144258) от 09.10.89
- Бахарев Н. Ф., Касимов И. К., Хадиева М. К. / Технология № 46190119 / № 1-390 (144259) от 09.10.89
- Бахарев Н. Ф., Касимов И. К., Хадиева М. К. / Технология № 46190120 / № 1-391 (144260) от 09.10.89
- Бахарев Н. Ф., Касимов И. К., Хадиева М. К. / Технология № 46190121 / № 1-392 (144261) от 09.10.89
- Бахарев Н. Ф., Касимов И. К., Хадиева М. К. / Технология № 46190122 / № 1-393 (144262) от 09.10.89
- Бахарев Н. Ф., Касимов И. К., Хадиева М. К. / Технология № 46190123 / № 1-394 (144263) от 09.10.89
- Бахарев Н. Ф., Касимов И. К., Хадиева М. К. / Технология № 46190124 / № 1-395 (144264) от 09.10.89
- Бахарев Н. Ф., Касимов И. К., Хадиева М. К. / Технология № 46190125 / № 1-396 (144265) от 09.10.89
- Бахарев Н. Ф., Касимов И. К., Хадиева М. К. / Технология № 46190126 / № 1-397 (144266) от 09.10.89
- Бахарев Н. Ф., Касимов И. К., Хадиева М. К. / Технология № 46190127 / № 1-398 (144267) от 09.10.89
- Бахарев Н. Ф., Касимов И. К., Хадиева М. К. / Технология № 46190128 / № 1-399 (144268) от 09.10.89
- Бахарев Н. Ф., Касимов И. К., Хадиева М. К. / Технология № 46190129 / № 1-400 (144269) от 09.10.89
- Бахарев Н. Ф., Касимов И. К., Хадиева М. К. / Технология № 46190130 / № 1-401 (144270) от 09.10.89
- Бахарев Н. Ф., Касимов И. К., Хадиева М. К. / Технология № 46190131 / № 1-402 (144271) от 09.10.89
- Бахарев Н. Ф., Касимов И. К., Хадиева М. К. / Технология № 46190132 / № 1-403 (144272) от 09.10.89
- Бахарев Н. Ф., Касимов И. К., Хадиева М. К. / Технология № 46190133 / № 1-404 (144273) от 09.10.89
- Бахарев Н. Ф., Касимов И. К., Хадиева М. К. / Технология № 46190134 / № 1-405 (144274) от 09.10.89
- Бахарев Н. Ф., Касимов И. К., Хадиева М. К. / Технология № 46190135 / № 1-406 (144275) от 09.10.89
- Бахарев Н. Ф., Касимов И. К., Хадиева М. К. / Технология № 46190136 / № 1-407 (144276) от 09.10.89
- Бахарев Н. Ф., Касимов И. К., Хадиева М. К. / Технология № 46190137 / № 1-408 (144277) от 09.10.89
- Бахарев Н. Ф., Касимов И. К., Хадиева М. К. / Технология № 46190138 / № 1-409 (144278) от 09.10.89
- Бахарев Н. Ф., Касимов И. К., Хадиева М. К. / Технология № 46190139 / № 1-410 (144279) от 09.10.89
- Бахарев Н. Ф., Касимов И. К., Хадиева М. К. / Технология № 46190140 / № 1-411 (144280) от 09.10.89
- Бахарев Н. Ф., Касимов И. К., Хадиева М. К. / Технология № 46190141 / № 1-412 (144281) от 0

Анализ гистограмм глин, песков, отсевов

Важнейшей характеристикой свободнодисперсных систем, обеспечивающей прочность материалов, получаемых спеканием или схватыванием, например бетонов, является удельная поверхность. Величина последней определяет полноту и количество контактов между частицами.

Известны способы определения удельной поверхности, такие как газовая адсорбция и расчет гистограмм, не отвечающие достаточной точности и весьма трудоемкие. Нужны методы, позволяющие детерминировать процесс определения удельной поверхности, но для этого необходимо множество анализов, чтобы исключить случайные ошибки гранулометрии как процедуры, завершающей построением гистограмм.

Проведен статистический анализ гистограмм глин, песка как продуктов коры выветривания, и классифицированных материалов, которые названы кратко отсевами. Использована классификация искусственная, с помощью сит, и естественная, в речных потоках.

Основной посылкой для подбора ситовых и седиментационных характеристик является предположение, что продукты коры выветривания или коренные свободнодисперсные [1] системы отвечают законам распределения, которые характеризуются положительной асимметрией и эксцессом [2], законы распределения классифицированных материалов сохраняют указанную асимметрию, но имеют отрицательный эксцесс. Материалы второго типа являются материалами, получаемыми совершенной классификацией. К ним нельзя отнести материалы, переотложенные речными потоками или классифицированные на ситах, а затем подвергнутые частичному измельчению на различных аппаратах. Указанные материалы были отнесены к промежуточным, к которым был также отнесен старый перлит марки ТУ 21-31-44-82 Мытищинского завода строительных материалов [3].

Были отобраны 53 ситовые и седиментационные характеристики, которые составили три массива экспериментальных данных. В первый массив (рис. 1) вошли 22 гистограммы кудиновских, полтавских, часов-ярских глин, дубровинского и глуховецкого каолинов с максимальной крупностью частиц 110 мкм [4], глины Хольванского, Янканского, Матвеевского месторождений с максимальной крупностью частиц 55 мкм, Комсомольского, Министерского, Нижнезареченского, Хохлатского, Синдинского, Покровского, Гусиные острова месторождений с максимальной крупностью частиц 2,75 мкм. Всего 79 экспериментальных точек.

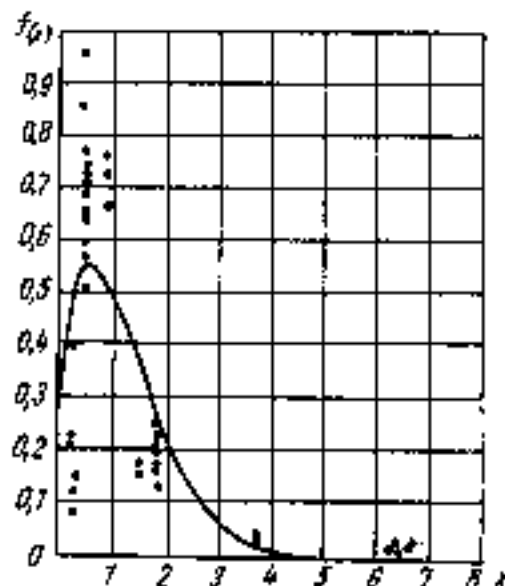


Рис. 1. Закон распределения коренных материалов.

Ось ординат $f(x)$ — функция плотности распределения объемов коренных материалов. Ось абсцисс x — относительный размер частиц.

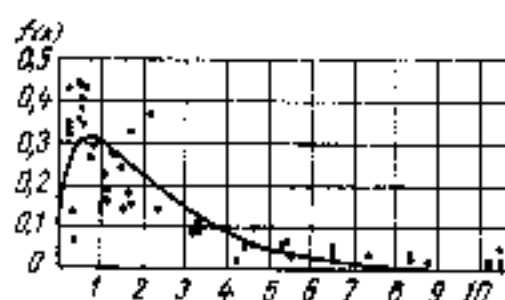


Рис. 2. Закон распределения промежуточных материалов.

Ось ординат $f(x)$ — функция плотности распределения объемов промежуточных материалов. Ось абсцисс x — относительный размер частиц.

Во второй массив (рис. 2) вошли 10 гистограмм. Из них две киевской и харьковской глины с максимальной крупностью частиц 110 мкм, две шамота — 66 мкм [4], три кварца, отобранного из барабанных мельниц — 1,65 мкм [5], одна старого перлита — 440 мкм, две глины Приморского края — 77 мкм. Всего 73 экспериментальные точки.

В третий массив (рис. 3) вошла 21 гистограмма. Из них пять пигментов — красной окиси железа с максимальной крупностью частиц: 1 образец — 1,2 мкм; 2 и 3 образцы — 1,43 мкм; 4 и 5 образцы — 3,3 мкм, одна каштымского каолина, разведенного в воде — 3,3 мкм, одна кальцита — 66 мкм, две цемента — 132 мкм, одна львовской глины — 110 мкм [4], две кварца — 1,65 мкм, две известняка, отобранного из барабанных мельниц — 77 мкм [5], одна свежеприготовленного перлита — 44 мкм, одна овражного песка — 1,1 мкм [6], одна золошлаковых отходов котельных — 44 мкм [7], одна песка Ченжинского карьера Камчатской обл. — 660 мкм, одна глины месторождения Дукинское Хабаровского края — 11 мкм, одна глины Кербенского причала — 66 мкм и одна глины р. Амур — 88 мкм. Всего 128 экспериментальных точек.

Возвращаясь к понятию удельной поверхности [1], следует отметить, что старение свободнодисперсных материалов, как процесс автосорбции, является обратным процессу диспергирования. Тогда дис-

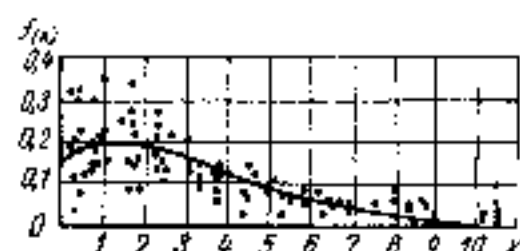


Рис. 3. Закон распределения классифицированных материалов.

Ось ординат $f(x)$ — функция плотности распределения объемов классифицированных материалов. Ось абсцисс x — относительный размер частиц.

персные системы, обладающие значительной удельной поверхностью энергией, согласно второму началу термодинамики, стремятся ее уменьшить, поэтому автосорбция сопровождается выделением тепла. В противоположность этому диспергирование обеспечивается добавлением энергии, например, при измельчении кварца и, также как в предыдущем случае, изменение закона распределения объема — увеличением крутизны описывающих законов кривых.

Большая крутизна функции плотности распределения отвечает большему значению коэффициента удельной поверхности, однако, образование агрегатов частиц обеспечивает рост максимального размера, это является превалирующим в процессе автосорбции и приводит к снижению удельной поверхности в целом. Иначе обстоит дело с диспергированием, при сохранении верхнего размера частиц рост удельной поверхности идет исключительно за счет изменения закона распределения. Классификация частично диспергированного материала, т. е. отсев крупных частиц, как затратный процесс, приводит к уплощению закона распределения с одной стороны, но обеспечивает ускоренный переход к большим значениям удельной поверхности с другой. Возникает оптимизационная задача, которую нельзя решить без накопления банка гистограмм и дальнейшей статистической обработки.

Методика обработки гистограмм, предваряющая регрессионный анализ, подробно описана в работе [8]. Ее особенность заключается в использовании понятия безразмерной крутизны частиц x . Наибольшее значение крутизны равно 11 — числу классов размеров частиц. Последнее сделало возможным построение функций плотности распределения в единичных координатах.

В качестве закона распределения материалов было принято универсальное выражение [4]

$$f(x) = ax^b / \exp(cx^d), \quad (1)$$

где $f(x)$ — нормированная функция плотности распределения объема частиц; a, b, c, d — постоянные.

Регрессионный анализ всех трех массивов экспериментальных данных показал адекватность расчетных к экспериментальным значениям отклика $f(x)$, а также значимость корреляционной связи между откликом и фактором — x при доверительной вероятности — 0,95. Как

№ ис- сл- вия	Коэффициенты					
	a	b	c	d	K_p	K_{us}
1	0,7220	0,2630	0,3591	1,88	0,789	1,49
2	0,6330	0,4990	0,7180	0,945	0,86	0,935
3	0,2080	0,1470	0,0651	1,72	0,803	0,686

видно из таблицы, коэффициент корреляции — K_p отвечает физическому эксперименту.

Зная выражение для функции плотности распределения объема (1), можно с точностью до постоянного коэффициента получить выражение плотности вероятности числа частиц

$$Y(x) = \frac{f(x)}{x^3}, \quad (2)$$

где x^3 — безразмерный объем отдельной частицы.

Далее, можно записать выражение удельной поверхности, например, для гладких частиц круглой и кубической формы

$$F(x) = \frac{6}{\Delta} \int_0^{x^3} Y(x) x^2 dx, \quad (3)$$

где x^3 — безразмерная площадь поверхности отдельной частицы; Δ — шаг класса.

Если в верхнем пределе x заменить на 11, то можно перейти к выражению полной удельной поверхности свободнодисперсного материала

$$F_{11} = \frac{6}{\Delta} \int_0^{11} Y(x) x^2 dx, \quad (4)$$

где $\int_0^{11} f(x) dx = 1$ по определению [2]; $\Delta = \frac{d_{max}}{11}$ [3]; d_{max} — максимальная абсолютная крупность частиц.

Наконец, обозначая собственный интеграл в выражении (4) как некоторый постоянный для данного закона распределения коэффициент удельной поверхности — K_{us} , получим

$$F_{11} = K_{us} \frac{\Delta}{\Delta}, \quad (5)$$

где $\frac{\Delta}{\Delta}$ — удельная поверхность монодисперсных материалов [1].

Из выражения (5) видно, что полная удельная поверхность строительных материалов, являющихся полидисперсными, отличается от удельной поверхности монодисперсных материалов на величину коэффициента K_{us} , который найден табулированием для трех массивов экспериментальных дан-

ных. Результаты внесены в таблицу.

Для частиц глины, по форме близким к пластинам, выражение (5) перелишается [3] в виде

$$F_{11} = K_{us} \frac{2}{x \Delta}, \quad (6)$$

где x — отношение толщины пластины к ее наибольшему размеру.

Таким образом свободнодисперсные материалы отвечают трем типам распределений, близким к распределениям продуктов: коры выветривания, промежуточных, классификационных. С достаточной для инженерной практики точностью удельная поверхность порошковых материалов может определяться с помощью выражений (5, 6).

СПИСОК ЛИТЕРАТУРЫ

- Фролов Ю. Г. Курс коллоидной химии. Поверхностные явления в дисперсных системах — М.: Химия, 1982
- Венцель Е. С. Теория вероятностей. — М.: Наука, 1969.
- Бойко В. Ф., Заболотный В. Л., Лопатин В. Н. Исследование характеристики товарного цемента // Институт горного дела ДВО АН СССР. Хабаровск, 1988. Деп. в ВИНТИ № 04 № 2494.
- Ладеев Н. Я. Об аналитическом методе расчета седиментометрического дисперсного анализа. Ростов-на-Дону Изд-во Ростовского ун-та, 1984.
- Биасико Л. Ф. Закономерности измельчения в барабанных мельницах. — М.: Недра, 1964.
- Полубиринова-Кочина П. Я. Теория движения грунтовых вод. — М.: Наука, 1977.
- Поповянц Т. С., Галиуллин К. Х., Петрукин Ю. Н. Золошлаковые отходы котельных как пористые заполнители легких бетонов // Колыма, 1990, № 2.
- Бойко В. Ф., Ульябекова Н. М. Исследование ситовых характеристик золы россыпей Дальневосточного региона // Колыма, 1990, № 11.

Возвращаясь к начатому

Авторами статьи «Применение экранированных пород угледобычи для производства керамзитового гравия» (Строит. материалы, 1991 г., № 9) являются Капустин А. П., Донцов С. С., Сулейманов С. Т., Макарова Т. В.

А. И. ФУРМАН, канд. экон. наук (ЦНИИЭПжилища)

Производство пластмассовых профилей для оконных переплетов

[Зарубежный опыт]

Требуемые темпы и качество мас-сового строительства связаны с решением архитектурных и технических задач, реализация в полной мере которых возможна на основе использования новых строительных материалов, конструкций, изделий.

К новым конструкциям следует отнести пластмассовые оконные переплеты, сравнительно недавно появившиеся в мировой строительной практике. И хотя традиционные деревянные конструкции окон продолжают занимать доминирующее положение, есть объективные причины, обуславливающие необходимость развития производства и применения оконных переплетов с использованием полимерных и других материалов. Прежде всего, это сокращение лесных массивов, которое вызывается, в частности, ростом потребления древесины в разных отраслях народного хозяйства.

В большом объеме высококачественные сорта древесины используют в строительстве для изготовления специальных видов окон. Следует отметить, что оконные переплеты из древесины относительно сложны в изготовлении, а в период эксплуатации требуется систематически возобновлять их отделочно-защитные покрытия.

В последнее десятилетие изменения в конструкционных решениях окон из древесины (переход от двойного остекления к тройному и четырехрядному для экстремальных климатических условий) потребовали изменений и в их производстве. Если на деревянные оконные переплеты в 1989 г. приходилось более 60 % мирового производства, то в 1990 г. их доля составила около 55 %. Доля окон из пластика за этот же период возросла в среднем с 25 до 40 % в общем выпуске оконных блоков.

В жилищном строительстве западных стран параллельно с деревянны-

ми оконными переплетами применяют пластмассовые, алюминиевые и деревоалюминиевые, металлические, изготавливаемые в большинстве своем не по стандартам, а по каталогам различных фирм. Однако стоимость таких окон выше деревянных. Например, в Норвегии окна с пластмассовыми переплетами дороже, чем с деревянными в 1,25 раза, с алюминиевыми — в 1,7 раза. В Финляндии окна из поливинилхлорида в 3 раза, а алюминиевые в 2 раза дороже окон из древесины.

С точки зрения разработки вариантов конструкций оконных переплетов, изготавляемых из традиционных и новых строительных материалов, с теми или иными физико-техническими свойствами важно знать зависимость между конструкцией окна и эффективностью его использования, а также перспективные направления конструирования окон и рациональные области применения тех или иных конструкций.

Весьма важный показатель для выбора конструкции окна и оценки ее экономичности — сопротивление теплопередаче. Эта величина влия-

ет не только на стоимость оконного блока к тепловым сетям, но и на затраты, связанные с отоплением здания. Показатель теплопотерь определяет мощность отопительных установок и расходы по их устройству и эксплуатации.

Установливая направления, темпы и объемы отечественного развития производства пластмассовых окон, нужно считаться с природными условиями нашей страны, знать объемы возможного потребления; обеспеченность строительной промышленности видами смол, стеклом и стеклопакетами, оконными приборами, оборудованием для переработки смол, производственными площадками, существующие и перспективные цены на исходные материалы и конечную продукцию.

Зарубежный опыт свидетельствует, что в зависимости от вида конструкционного материала происходит переориентация производства окон и выбор той или иной технологии в различных странах мира (см. таблицу).

Замена деревянных оконных блоков пластмассовыми и металлическими дает определенный экономический эффект прежде всего при их эксплуатации в результате сокращения трудозатрат на содержание и текущие ремонты. Этот эффект возрастает при использовании в конструкциях стеклопакетов, солнцезащитных пленок и др.

Надо сказать, зарубежная практика в области проектирования, производства и применения оконных блоков в строительстве отличается от нашей в основном тем, что конструкции менее материалоемки, более совершенные приборы открывания, а также надежным уплотнением притворов; высоким качеством защитно-декоративной отделки.

Качество оконных переплетов из

Страна	Общий объем производства оконных блоков, млн м ²	Применение конструкционных материалов оконных блоков, %		
		дерево	пластмассовый	металл.
СССР	301	95	5	0,001
ФРГ	15,55	44	12	44
Австрия	8,5	50	30	20
Франция	5,2	80	17	3
Испания	5	70	30	1
Италия	4	—	—	5
Бельгия	1,4	63	22	15
Швеция	1,5	85	10	5
Нидерланды	1,3	70	20	10
Австрия	1,2	40	12	48
Норвегия	1	90	5	5

Примечание. Данные таблицы относятся к среднему в периоду 1990 г.

поливинилхлорида зависит от используемого сырья, способа переработки его на профили, вида профиля, технологии изготовления самого окна. Сказывается их конструкционная особенность. Это — тип, способ открывания (вентиляционное устройство), вид и число рядов остекления, уплотняющие прокладки, их число и размещение в притворах коробки и створок.

Важно установить зависимость между конструкцией окна и эффективностью его использования, (ценными факторами в конкретных климатических условиях), а также конструкцией и областью применения. Решить эту задачу при проектировании окон помогла бы классификация оконных блоков по их конструкционным особенностям. Такой классификации у нас в стране нет.

За рубежом в строительной практике руководствуются «Общими указаниями по применению окон» (принятыми Европейским Союзом по рекомендациям технических решений в строительстве), в которых окна классифицируются по воздухо- и водонепроницаемости, ветровым воздействиям, механическим деформациям и т. д. Однако такая классификация предназначена для сравнения конструкционных особенностей различных типов окон и не позволяет дать их технико-экономическую оценку.

Для создания классификации, отражающей связь между конструкционными особенностями различных типов окон и экономической эффективностью их применения, необходимо выбрать признаки, по которым был бы выполнен расчет экономической эффективности. С нашей точки зрения, такими признаками являются вид материала и конструкционные особенности окон, в частности, способ открывания, вид остекления и т. д.

Материал в значительной степени определяет долговечность конструкции, ее физико-механические и эксплуатационные характеристики, в конечном итоге затраты на ее изготовление и эксплуатацию.

Немаловажное значение имеет тип наполнителя в сечении профиля конструкций окон из искусственных материалов. Наполнители играют существенную роль в формировании теплофизических, физико-механических и эксплуатационных характеристик конструкций окон и для их стоимости.

В качестве основного сырья для

изготовления оконных переплетов чаще всего служит модифицированный с целью повышения ударной вязкости поливинилхлорид. В странах, в которых большая часть окон изготавливается из поливинилхлорида, а именно в Англии, ФРГ, Австрии, использование ударно-вязкого ПВХ предписано соответствующими нормами на качество. В ФРГ такой нормой является в основном ДИН 53453, по которой минимальная ударная вязкость должна составлять 15 кДж/м², в Австрии — около 35 кДж/м².

Чтобы твердый полихлорвинил имел такие свойства, его модифицируют компонентами эластомеров.

В качестве модификаторов используют: акрил-сополимеры; хлорированный полиэтилен, сополимеры этилена и акрилового эфира; сополимеры этилена и винилацетата; сopolимеры акрилнитрила-бутадиена-стиrola.

При изготовлении оконных профилей поливинилхлорид в процессе экструзии испытывает действие термических нагрузок и, кроме того, фотодеструкцию под влиянием солнечного света на наружные конструкции. Поэтому ПВХ необходимо защищать от воздействия тепла и солнечных лучей путем добавления стабилизаторов. Для изготовления оконных профилей роль стабилизатора повышается. Однако белые профили (по мнению специалистов, наиболее долговечные) хорошую устойчивость получают вследствие добавления в сырьевую композицию определенной дозы титанового окисла согласно информации фирмы «Киба-Гейгю», Швейцария.

Таким образом, при переработке ПВХ экструзионным способом требуется применение стабилизаторов и пластификаторов. Первые обеспечивают термо- и светостойкость, вторые улучшают экструзионные свойства.

В Европе в качестве стабилизаторов используют свинец, барий-кадмий, свинец-барий-кадмий. Стабилизация оловом, применяется в основном в США, в Западной Европе не используется.

Фирма «Бляйбергер Бегверкс Унион» (ББУ) разработала для всех трех типов стабилизации соответствующие композиции — системы «стабилизатор-пластификатор»: «АУСТРОСТАБ ХР 1», «АУСТРОСТАБ ХР 2», «АУСТРОСТАБ ХР 3».

Хорошо зарекомендовали себя

при изготовлении белых оконных профилей свинцово-бариево-кальциевая система стабилизации, «Аустростаб ХР 3» с использованием поливинилхлорида, модифицированного с помощью как акрилата, так и этилвинилацетата.

Так как рецептура на базе свинцово-бариево-кальциевой системы позволяет получить наилучшие механические свойства поливинилхлоридных профилей с высокой их атмосферостойкостью, современные композиции можно приготовлять на основе свинцово-бариево-кальциевого стабилизатора.

Для модификации материала, идущего на изготовление оконных профилей, имеются в основном три типа модификаторов: хлорированный полиэтилен НГЭ, этиленвинилацетат ЭВА, акрилат (полиакриловый эфир) АКР.

Модификация сырьевой композиции акрилатом для повышения ударной вязкости материала улучшает технологичность перерабатываемого продукта в отличие от хлорированного полиэтилена (ХПЭ) или этиленвинилацетата (ЭВА). Поэтому в современной рецептуре акрилат — более предпочтителен как модификатор.

В начале 70-х годов практически все оконные профили модифицировали ХПЭ, который затем постепенно был вытеснен ЭВА. Пластификаторы и технологические добавки должны не только быть рассчитаны на сочетание с применяемыми материалами, но и способны перерабатываться в машине и экструзионной установке. В этой связи нельзя забывать и о воздействии пигментов, которые имеют значение комбинаций, при этом параметры экструдера должны быть достаточно гибкими, чтобы обеспечивать переработку самых разных составов смеси.

В последние годы ряд зарубежных фирм, особенно в ФРГ, работают над компаундингом, т. е. наполнением, армированием, легированием или созданием полимерных растворов и химических реакций для производства пластмасс. Особая роль отводится металло-пластмассовым компаундам, в которых концентрация металла может достигать более 70 %.

На основе компаундинга можно получать принципиально новые виды сырья и модифицированные пластмассы. Наполнение, армирование и легирование сырьевых материалов придают ему новые,

улучшенные многогранные свойства, особенно при прямой экструзии.

Под прямой экструзией понимается комбайнирование и плавовая экструзия в едином процессе. Эта технология интересна тем, что исключаются затраты на гравирование. На этой основе фирма «Лайнстрип» (ФРГ) приступила к созданию экструдированной технологии изготовления оконных блоков из пластика с качественно новой рецептурой (поливинилхлорид + винилхлорид-винилакетат).

К материалу, из которого выполняется оконный профиль, предъявляются высокие требования. Он должен обладать следующими свойствами: равномерной гомогенизацией, хорошей дегазацией; высокой остаточной стабильностью; цветостойкостью (цвет не должен изменяться под воздействием тепла), хорошим качеством по всей поверхности; высокой ударной прочностью; низким коэффициентом усадки; хорошей свариваемостью, высокой размерной точностью.

Фирма «Ньюкингтон Милакрон» (Англия) приводит следующий состав компонентов без детализации: на 100 ч.ко массе модифицированного ПВХ добавляется 4-8 ч. мела, 3-4 ч. диоксида титана, 5 ч. стабилизатора.

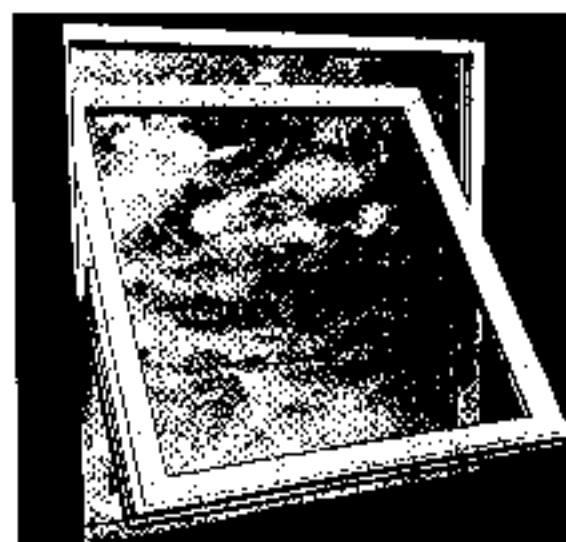
Хорошей цветостойкости и атмосферостойкости материала для окон можно добиться введением соответствующих стабилизаторов и пигментов. Такой материал не подвергается химической коррозии, не требует больших затрат на уход. Такие пластмассовые окна хорошо служат в приморских районах в крупных городах и промышленных центрах, для которых характерны большие выделения выхлопных газов автотранспорта и промышленных установок. Материал в целом имеет удовлетворительные физико-механические характеристики, прочен и малотепло проводен. Недостатком его является малое значение модуля упругости (примерно в 4 раза меньше, чем у древесины вдоль ее волокон), поэтому пластмассовые профили следует усиливать вставными металлическими элементами. Довольно высокое значение коэффициента теплового расширения также должно учитываться при конструировании профилей, особенно для материала темной окраски.

Применяемый в изготовлении

а)



б)



в)

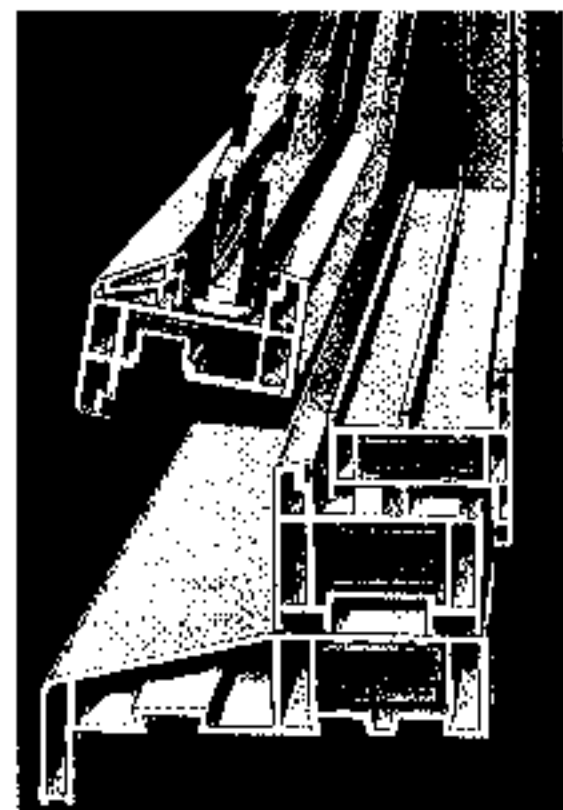


Рис. 8. Окно с пластмассовым переплетом с одной створкой и двойным остеклением классным стеклопакетом
а — общий вид окна, б — же, в открытом состоянии; в — разрез

пластмассовых окон пенополиуретан взамен поливинилхлорида, по данным фирмы «Байер» (ФРГ), характеризуется такими показателями: плотность — 600 кг/м³; модуль упругости при изгибе — 950 Н/мм²; прочность при изгибе — 35 Н/мм²; при растяжении — 18 Н/мм²; ударная вязкость — 18 кДж/м²; теплопроводность — 0,08 Вт/(м·К), температура — 110—120 °С.

Для повышения стойкости поверхности изделий их покрывают лаками на основе пенополиуретана или слоем акрила.

Пенополиуретан более теплоустойчив и менее теплопроводен, чем поливинилхлорид, но уступает ему по прочности, ударной вязкости и модулю упругости. Это требует усиленного армирования профилей и сэндвичных, а не пустых сечений пластика.

Основой для изготовления оконных блоков из материала типа «Фибергласс»* является термоактивная смесь, получаемая из синтетических смол. Для получения целого оконного профиля используют «Фибергласс» и специальную связующую жидкость, которая является основным компонентом в поставке при условии закупки за рубежом оборудования данной технологии.

* Фибергласс — стеклопакет.

Наполнителем в профилях служит жесткий пенополиуретановый пенопласт. Для получения глянцевой поверхности профилей в формовочную массу вводят химическую добавку типа «гликозид».

Связующую жидкость как компонент смеси с «Фиберглассом» получают из полизифирных смол. Она включает в себя специфическую добавку, которую предлагает фирма «Леонард Девелопмент» (Канада).

Чтобы получить оконный профиль высокого качества, нельзя обойтись только одними экструдерами с инструментом и сопутствующим оборудованием. Требуется тщательное согласование рецептуры, геометрии профиля, технологического узла, инструмента и калибрующего устройства и т. д.

Оценивая эффективность производства и применения конструкций пластмассовых окон, зарубежные специалисты подчеркивают необходимость тщательного взвешивания и правильной оценки двух факторов: долговечности исходных полимерных материалов, а также физико-механической и химической стабильности изготавливаемых из них изделий; со временем физико-механических свойств, цвета и внешнего вида изделий при их эксплуатации в неблагоприятных атмосферных условиях, в том числе при большой амплитуде перепадов температуры.

Срок службы пластмассовых окон в отличие от деревянных и металлических, пока еще точно не установлен, поскольку их применение началось сравнительно недавно, а срок эксплуатации не превысил 15—25 лет. Метод ускоренного старения — ультрафиолетовое облучение полимерных образцов в лабораторных условиях при пересчете результатов на эквивалент долговечности показал 40 лет.

Долговечность пластмасс зависит не только от природного химического состава полимеров, их химической «чистоты», но и от уровня техники, применяемой технологии переработки сырья и изделия. Так, при использовании термореактивных материалов надо следить, чтобы полимеризация всех участков изделия из них была завершена и чтобы неизбежно возникающие внутренние напряжения в них были ограничены и не приводили к последующему перекосу или к трещинообразованию.

Установлено, что со временем на поверхности изделий из стеклонитриэфира под влиянием внешних атмосферных воздействий обнажаются стеклянные волокна, возникают трещины. Пришлось прибегнуть к

специальным полимерным составам для покрытия поверхности стеклопластиков — наподобие защитной окраски.

Сказанное о внутренних напряжениях термореактивных смол распространяется и на экструдируемые термопластичные материалы. Кроме того, при их эксплуатации наблюдается потеря эластичности, что объясняется постепенной миграцией пластификаторов в массе. Поливинилхлоридная композиция фирмы «Хосталит Зет» (ФРГ) не имеет этого отрицательного свойства и представляет собой поливинилхлорид, пластифицированный хлорированным полизтиленом.

Цветостойкость у пластмасс, особенно в условиях наружной эксплуатации, разная и зависит не только от применяемых пигментов, но и от сочетания с теми или иными смолами.

В зарубежной практике для окон с пластмассовыми переплетами нередко применяют одинарное остекление. Для двойного, как правило, используют стеклопакеты (рис. 1 и 2), чаще всего — клевые в последнее время, более совершенные сварные.

В последние годы наблюдается увеличение выпуска спаренных окон с остеклением из обычного листового стекла, что связано с ограниченным сроком службы многих стеклопакетов — появлением в них конденсата и пыли, ухудшением светопрозрачности, увеличением расходов на перестеклени. Все эти явления связаны с недостаточной термичностью стеклопакетов при длительной эксплуатации.

Несмотря на преимущества оконных блоков из пластмасс по сравнению с другими: увеличение срока службы конструкции, сокращение эксплуатационных расходов, повышение эстетического уровня и т. д., их производство в нашей стране в широком масштабе не организовано. Идет строительство крупного предприятия по изготовлению окон из ПВХ в Харьковской обл. Есть предприятия мощностью по 250 тыс. м² окон в год в г. Ташкенте и по выпуску 10 тыс. м² окон в год в г. Кустанас. В будущем будут созданы крупные специализированные предприятия по производству пластмасс и изделий из них в г. Ачинске (Красноярского края), Омске, а также крупные комплексы в гг. Тобольске и Томске.

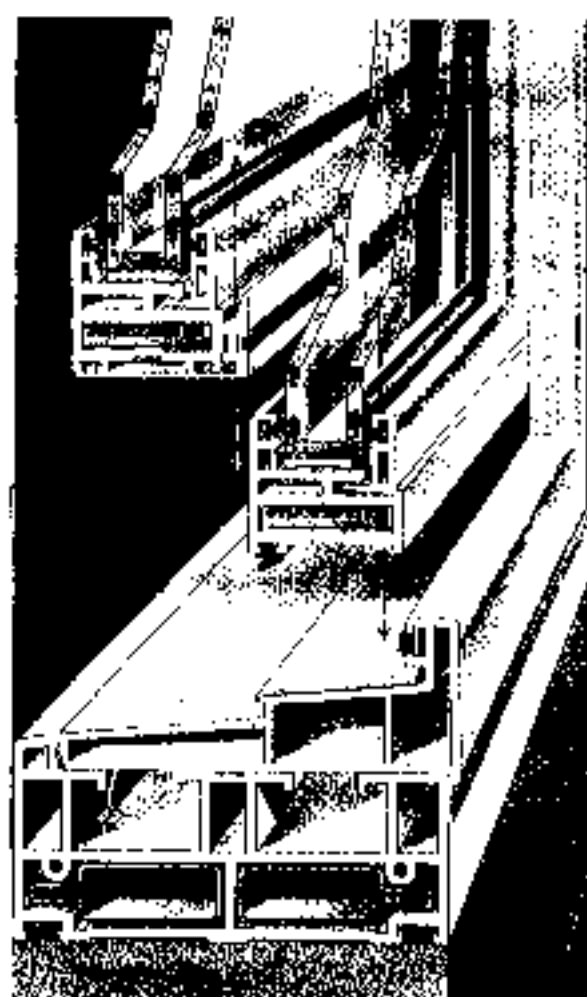


Рис. 2. Окно (разрез) с пластмассовым переплетом с двумя створками с клееным стеклопакетом

ИНФОРМАЦИЯ

В час минувшего года в Веймаре была проведена II Международная конференция по строительным материалам и силикатам. Проведение этих конференций стало традиционным, и, несмотря на финансовые осложнения в связи с объединением двух германских государств, удалось сохранить намеченные ранее сроки работы.

Пленарное заседание конференции открыто председатель оргкомитета проф. д-р Р. Шмидт (Веймар), словами благодарности почетному гостю, министру экологии земли Тюрингия Г. Зикману и генеральным докладчикам проф. д-ру О. Н. Мицелову (Петроян) (СССР) и проф. д-ру Д. Кифелью (университет Зиген, ФРГ) и приветствием, адресованным всем участникам.

С приветствием участникам конференции выступил ректор Веймарской высшей школы архитектуры и строительства проф. д-р Г.-У. Менце, отметивший 30-летнюю традицию проведения симпозиумов в Веймаре, подчеркнув многократное участие в работе «Ибаугия» таких ученых, как проф. д-р У. Людвиг (Аахен, ФРГ) и проф. д-р Б. Реберт (Веймар) и других.

С генеральными докладами выступили министр Г. Зикман («Керамическая продукция Тюрингии с учетом специфической экологической ситуации»), указавший на насущные экологические проблемы Тюрингии; проф. О. Н. Мицелов-Петросян («Привод соответствия в технологиях силикатов»), показавший на примерах технологии цемента, бетона, керамики и стекла необходимость соблюдения соответствия между внутренними термодинамическими условиями и внешними воздействиями для достижения оптимальных результатов, и проф. Д. Кифель («Старые и новые растворы — материаловедческие исследования и рекомендации для исторических строений») по вопросам исследование причин наблюдавших

11-я Международная конференция по строительным материалам и силикатам («ИБАУСИЛ»), 1991 г., Веймар (ФРГ)

разрушений в древних и современных строениях.

Дальнейшая работа конференции проходила по секциям.

В секции керамики под руководством доц. И. Бергер было представлено 3 комплекса тем. Первый комплекс (5 докладов) был посвящен согласованию керамической продукции с экологическими проблемами. Здесь рассматривались: роль глин в керамике, использование зол и гальванотехнических и металлопромышленных отходов, изготовление стеновых плиток из стеклосодержащих материалов однократным обжигом. Второй комплекс тем (7 докладов) был посвящен добавкам: химические аспекты органических вспомогательных добавок в керамике, действие добавок на керамические грануляты и прессовки, модификация поверхности порошков нитрида кремния, характеристика свинцово-цирконатно-титановых шликеров на неводной основе, реологические свойства набрызговых масс из карбоната кремния, исследование принципов формирования тонких керамических слоев и тленок, критерий изготовления пленок водным шликерованием. Третий комплекс тем (17 докладов) охватывал вопросы способов производства и качества изделий: промышленное оксидное сырье по методу термического распыления, кинетика дегидроксилиации гидроксида алюминия, измельчение в кольцеобразном измельчителе, использование активного кремнезема сельскохозяйственных отходов, технология строительной керамики 90-х годов, обеспечение качества при изготовлении огнеупоров, динамические методы оценки кремнеуглеродных изделий, методические вопросы структурной оценки морозостойкости изделий грубой керамики, значение образующихся при нагреве расплавов в использовании муллитокорундитовых огнеупоров, характеристика глазури и эмали, микропроцессы в глазурах, новые составы глущенных глазурей

строительной керамики при ускоренном обжиге, влияние добавок на направленное изменение структуры и свойств фарфора, эффект кислотности и времени при эмалировании стали, микроаналитические исследования керамических связок, спекание нитрида кремния при скорости нагрева до 2000 К в минуту.

В секции стекла под руководством проф. д-ра Г. Хильбига было также 3 тематических комплекса. Первый был посвящен математическому моделированию (14 докладов): расчеты процессов в ванной стекловаренной печи, стратегия регулирования процессов выдачи стекломассы, новая математическая модель описания стеклопотоков в печи, связь математического и физического моделирования, поведение газовой фазы и песка в стекловарении, опыт математической модели вытяжки стекла, вытяжка стеклотруб, расчеты производительности, гидродинамическая стабильность электростекловаренных печей, математическое моделирование стеклорасплава, модель гомогенизации стеклорасплава в плавильном агрегате, математический расчет потерь тепла в стекловаренных печах. Второй комплекс тем (7 докладов) был посвящен автоматизации: проблемы управления операциями производства листового стекла, проблемы оптико-электронного контроля, управление с помощью микропроцессоров, задача автоматизации производства листового стекла, оптимальный контроль теплового режима плавки силикатных материалов, состояние моделирования регулировки ванных печей. Третий комплекс (17 докладов) был посвящен вопросам технологии: эффективный теплоперенос в регенераторах, методы стекловарения на исходных токсичных материалах, улучшение математических моделей скоростных и температурных полей в стекловаренных печах, изучение термических параметров печей с целью оптимизации, фторофосфатные стек-

ла для высокоеффективной оптики, высокоскоростные индукционные методы плавки радиоактивных отходов, рентгеноспектральные исследования боросодержащего сырья и процесса уплотнения смеси как влияющих на структуру, линеотационный вискозиметр для стекла с испаряющимся составными частями, измерение толщины листового стекла радиационным методом, изучение преломления в боро-кремнистом стекле при натрий-калиевом обмене, структурные характеристики некоторых силикатных стекол, модели для управления ванными печами, математическое моделирование регенеративно отапливаемых ванных печей, биоактивная стеклокерамика с содержанием кристаллов аморфита и лиопсита, структурообразование в ультрафосфатных стеклах с одно- и двухвалентными катионами, структура «термальных» силикатных стекол, изготовление и оптические свойства стекол с полупроводниковыми микрокристаллами.

Секция бетона и строительных элементов под руководством проф. д-ра И. Штарка была представлена 8 тематическими комплексами. Первый (7 докладов) был посвящен вопросам морозостойкости: сопротивление морозу и участие противоморозных солей, влияние цемента на морозостойкость, жаро-, морозо- и противоморозодобавочная стойкость бетона, газопроницаемость как мера морозостойкости, морозо-противоморозодобавочная стойкость смешанных цементов, метод определения морозостойкости, влияние структуры на морозостойкость. Второй комплекс (5 докладов) касался стойкости бетонов с доломитами добавками: характеристика долговечных бетонов на шлакопортландцементе, влияние доломитной добавки на долговечность бетона, изучение динамики реакции на последующее нарушение долговечности, исследование долговечности бетона с доломитными добавками, износстойкость бетона с

инертными и гидравлически активными добавками. Третий комплекс (8 докладов) был посвящен связи свойств цемента с качеством бетона: реакции при образовании бетона, водопроницаемость гидротехнического бетона при высоких гидростатических давлениях, связь структуры и плотности бетона, структура и свойства бетонов с активным кремнеземом, оценка долговечности бетона, расширение бетона под влиянием влажности и повышенных температур, опыт водотехнических сооружений в Тюрингии и Саксонии, гидротехнический бетон. Четвертый тематический комплекс (8 докладов) был посвящен вопросам службы растворов и бетонов: долговечность и экономичность наружных стен из легкого бетона, щелочная агрессия полимерных волокон, безасбестовые волнистые плиты из бетона на стекловолокне, защита железобетона в условиях промышленной атмосферы, защитные антикоррозионные растворы, защита бетона на стройке, характеристика растворов и бетонов динамическим модулем эластичности, функции армирования стекловолокном с покрытием в матрице гидросиликатов.

Тематический комплекс 5—6 (12 докладов) освещал долговечность цементного камня и бетона: проблема повторного образования этринита в термически обработанных растворах и бетонах, долговечность термообработанных растворов и бетонов, химические эффекты длительно термически обработанного портландцементного камня и их значение для теории реакций щелочи с заполнителем, исследование гидратации отдельных цементных минералов, долговечность растворов на активированном багитом белитом цементе, влияние сульфата кальция и щелочей на коллоксистенцию и схватывание растворов, исследование качества бетона, ранние стадии гидратации силикатов и алюминиатов, исследование влияния содержания щелочей и сульфата на качество бетона, старение бетона при изменении физико-химического равновесия в процессе службы, разрушение строительных материалов в результате микробиологических процессов, коррозия неорганических синтетических волокон в цементной матрице. Тематический комплекс 7—8 (19 докладов) касался вопросов изготовления и переработки бетонных смесей: определение характеристик бетона в процессе приго-

тования смеси, изготовление и транспортировка бетонной смеси, укладка и уплотнение бетона ротационным методом, исследование вибрационной системы изготовления бетонных труб, противовибрационная и антишумовая защита при изготовлении бетонных блоков, технологические процессы изготовления бетонных смесей, эффективная технология производства высококачественных бетонов, современные методы формообразования и уплотнения бетонных изделий, измеритель влажности на основе микроволн для быстрой оценки влажности заполнителя, экспериментальные исследования возможности обработки жестких бетонных смесей, действие прессования на уплотнение различных бетонных объемов, влияние различных факторов на изготовление и обработку бетонных масс, обработка жестких бетонных смесей двусторонним вибратором, измерительные проблемы при изготовлении цементных бетонов, коррозия различных стеклонитей в цементе и синтетической цементной поровой воде, изучение реакционной динамики поздних нарушений цементных бетонов за счет реакции щелочи с активным кремнеземом, экструзия цементосодержащих смесей, биологическая сопротивляемость полимербетонов, новые конструкции трубчатых бетонных колонн.

В секции вяжущих под руководством проф., д-ра Г. Зайделя было рассмотрено 4 комплекса тем. Первый комплекс (11 докладов) был посвящен процессам помола и обжига: будущее техники помола на пресс-валковых мельницах, влияние вида помола на свойства цемента, связь прочности с распределением частиц по размерам в шлакопортландцементе, энергосберегающие помольные агрегаты, влияние уровня автоматизации процессов обжига и помола на удельные расходы энергии при производстве цемента, новые разработки по изготовлению цемента с экономией энергоресурсов, оценка реконструкции в цементной промышленности с точки зрения экономии энергии, проверка нового метода снижения давления при транспортировке сырьевых смесей, будущее использования бурых углей в промышленности вяжущих, система контроля температуры поверхности вращающихся печей. Второй комплекс (4 доклада) касался образования клинкера с учетом при-

меси в портландцементе и специальных цементах: теория подобия в применении к клинкерообразованию в лаборатории и производстве, сульфатосодержащий белитовый цемент, исследование быстротвердеющих цементов в системе оксид кальция — кремнезем — глинозем — сульфат железа — фтористый кальций, влияние повышенного содержания оксида марганца на состав клинкерных паст и свойства цемента. Третий тематический комплекс был посвящен гидратации и свойствам гипсовых и ангидритовых вяжущих (6 докладов): изготовление и использование технических сульфатов кальция и свойства полученных из них гипсовых вяжущих, свойства схватывания смеси гипса — портландцемент, структурообразование в системе гипс — вода, порогипс — для новых гипсовых продуктов, влияние различных карбонатов на схватывание гипса, добавки к гипсу. Четвертый тематический комплекс (7 докладов) был посвящен использованию промышленных отходов в производстве цемента: измерение замедлителей гидратации гипса, строительство на отходах, проблематика цемента с летучими золями, процесс твердения смесей с летучими золями, возможность одновременного использования промышленной шлаки цемента и бытовых отходов, использование бедных известняков, структурообразование при гидратации белитовых вяжущих.

Представленные доклады, а в некоторых случаях краткое изложение, были предварительно опубликованы в двух томах издательством «Шпрехзаль».

На секциях была проведена оживленная дискуссия. Общее количество участников составило более трехсот; к сожалению, представителей восточно-европейских стран было значительно меньше представленных докладов. Так, от СССР докладов было представлено 20, а участников только 5, что, по-видимому, связано с отсутствием валюты.

В специально отведенном помещении была организована интересная выставка приборов и изделий, связанных с тематикой конференции.

Для участников были организованы культурные мероприятия.

О. П. МЧЕДЛОВ-ПЕТРОСЯН,
архнр., д-р техн. наук

Рефераты опубликованных статей

УДК 669.94/95 (540)

Производство известково-шлакового цемента на основе отходов металлургического предприятия / В. М. Долгополов, М. Н. Курбатский, Л. А. Тарабрина и др. // Стройт. материалы. 1991. № 1. С. 3—4.

Предложена технология получения известково-шлакового цемента на основе отходов горно-обогатительного производства Магнитогорского металлургического комбината и местных известняков и гипса. Приведены технологическая схема и физико-механические свойства известково-шлакового цемента. Определены области применения цемента. Табл. 1, библ. 7.

УДК 666.965.4

Борбасич И. В., Соломатин В. И. Интенсивная раздельная технология бетонов на наполненном известковом вяжущем // Стройт. материалы. 1992. № 1. С. 4—5.

Приведены результаты исследований вязкости высококонцентрированных известково-шлаковых водных суспензий, при обработке их в скоростном смесителе. Установлено, что скоростное смешение (от 1400 до 2300 ж^{-1}) приводит к снижению вязкости суспензии. Особенка эффективно уменьшает вязкость скоростное смешение суспензии и присутствие суперпластификатора С-3. При этом вязкость уменьшается более чем в 20 раз по сравнению с вязкостью практически неразрушенной структуры. Затворение заполнителей суспензией, приготовленной в высокоскоростном смесителе, приводят к улучшению релаксационных характеристик бетонной смеси, а также к резкому (на 50—90 %) возрастанию прочности материала после тепловлажностной обработки.

УДК 691.21.002.021.9.025.7

Першин Г. Д. Оптимизация силового режима работы канатно-алмазных пил при любые природного камня // Стройт. материалы. 1991. № 1. С. 7—9.

На основе анализа особенностей скользящего и контактного взаимодействия при канатно-алмазной расщеплении горных пород показана эффективность резания по схеме «петлевого охвата» монолита или блока канатом кольцевым контурами каната. При этом предложен режим резания осуществлять с постоянной скоростью подачи, что обеспечивает в процессе разрушения постоянство усилияного давления инструмента на забой независимо от геометрии профиля. Внедрение разработанных рекомендаций дает возможность повысить наработку алмазного инструмента и улучшить экономические показатели процесса добычи природного камня канатно-алмазными пилами. Ил. 2.

УДК 666.973.6.012

Повышение качества кладочных растворов для сейсмостойкого строительства / И. К. Касимов, Н. Ф. Бахриев, А. А. Тулагина, М. К. Хасанова // Стройт. материалы. 1991. № 1. С. 18—20. Предложены составы высокодесорционных шлакощелочных хладочных растворов для возведения стен зданий из силикатного кирпича в сейсмических районах, которые позволяют повысить прочность сцепления раствора с кирпичом в 2,7—3,5 раза по сравнению с аналогичными эксплуатационными характеристиками обычных цементно-известковых растворов и отнести кладку к категории «высокая» по сейсмостойкости (соответственно с СНиП II-7-81). Изучены процессы структурообразования материала в контактной зоне: «растрово-силкатный кирпич», с помощью современных методов анализа. Определены критерии обеспечения плотной микроструктуры в контактной зоне «растрово-силкатный кирпич». Ил. 4, библ. 4.

Редакционная коллегия:

М. Г. РУБЛЕВСКАЯ, (главный редактор), А. С. ВОЛДЫРЕВ,
А. В. ВОЛЖЕНСКИЙ, Х. С. ВОРОБЬЕВ, Ю. В. ГУДКОВ,
Б. К. ДЕМИДОВИЧ, А. Ю. КАМИНСКАС, М. И. КОТОВ, А. Н. ЛЮСОВ,
Л. А. МАТЯТИН, А. Ф. ПОЛУЯНОВ, А. В. РАЗУМОВСКИЙ,
С. Д. РУЖАНСКИЙ, В. А. ТЕРЕХОВ, И. Б. УДАЧКИН, Е. В. ФИЛИППОВ,
Н. И. ФИЛИППОВИЧ, Ю. Н. ЧЕРВЯКОВ, В. Р. ЧУЛОК,
Л. С. ЭЛЬКИНД (отв. секретарь)

Адрес редакции: 103051, Москва, Большой Сухаревский пер., д. 19.
Тел.: 207-40-34; 204-57-78

Оформление обложки художника В. А. Андреева
Технический редактор Е. Л. Сангурова
Корректор М. Е. Шабалина

IN THE ISSUE

Dolgopolov V. M., Kurbatsky M. N., Tarabrina L. A., Safronova L. V., Chechjurina T. V. Production of lime-slag cement based on the wastes of a metallurgical plant

Borbasich I. V., Solomatov V. I. Intensive separated technology for production of concretes with a filled lime binder

Kuznetsov S. N., Anuchkin S. M., Chishchikin V. I., Chernov V. P. Reconstruction of short autoclaves and other vessels to long ones

Pershin G. D. Optimization of power-driven operation of rope-diamond saws when mining the natural stone

Heat-insulating materials. At the 3rd International exhibition-fair «Stroyindustria—91»

The products of Donetsk plant for the production of insulating materials

Kasimov I. K., Bakhriev N. F., Tulaginova A. A., Khassanova M. K. Improving the quality of masonry mortars used for seismic-resistant housing

Strémovský R. A., Boiko V. F., Kosjachenko A. G. The analyses of histograms of clays, sands and chippings

Furman A. I. Production of plastic sections for window sashes

Mtschedilov-Petrosyan O. P. The 10-th International conference on building materials and silicates (IBAUSIL), 1991, Weimar (FRG)

IN DER NUMMER

Dolgopolow W. M., Kurbatzki M. N., Tarabrina L. A., Safronowa L. V., Tschechschurina T. V. Erzeugung von Kalk-Schleckenzement auf der Grundlage der Abfälle eines Eisenhüttenwerkes

Borbasich I. V., Solomatow V. I. Intensive und getrennte Technologie von Betonherstellung mit gefülltem Kalkbinder

Kuznetsov S. N., Anuchkin S. M., Tschischikin V. I., Eschernow V. P. Rekonstruktion von kurzen Autoklaven und anderen Behältern zu längeren Behältern

Pershin G. D. Optimierung von Kraftverhältnissen der Arbeit von Siele-Diamantsägen bei Natursteingewinnung

Wärmedämmstoffe. Auf 3. Internationalen Fachausstellung «Stroyindustria—91»

Kasimov I. K., Bakhriev N. F., Tulaginova A. A., Chassanova M. K. Erhöhung der Qualität von Mauermörteln für erdbebensichere Bauweise

Strémovský R. A., Boiko V. F., Kosjachenko A. G. Die Analyse der Histogramme von Tonen, Sanden und Siebereckschliffen

Furman A. I. Herstellung von Plastiprofilen für Fensterflügel

Mtschedilow-Petrosyan O. P. 10. Internationale Konferenz für Baustoffe und Silikate (IBAUSIL), 1991, Weimar (BRD)

DANS LE NUMÉRO

Dolgopolov V. M., Kurbatsky M. N., Tarabrina L. A., Safronova L. V., Tchetchchourina T. V. La production du liant de laitier à la chaux à base de déchets de l'entreprise métallurgique

Borbasich I. V., Solomatov V. I. La technique intensive séparée des bétons aux liants à la chaux

Kuznetsov S. N., Anouchine S. M., Schljatkine V. I., Tchernov V. P. La reconstruction des autoclaves courts en autoclaves longs

Pershine G. D. L'optimisation du régime de travail des scies à câble et à diamant lors de la production de la pierre naturelle

Les matériaux calorifugés à la 3ème exposition—foire internationale "Construction - 91"

Kasimov I. K., Bakhriev N. F., Tulaginova A. A., Khassanova M. K. L'élévation de la qualité des mortiers de maçonnerie pour la construction antisismique

Strémovský R. A., Boiko V. F., Kosjachenko A. G. L'analyse d'histogrammes des argiles, des sables, des satures

Furman A. I. La production des profils en plastique pour les châssis de fenêtre

Mtschedilov-Petrosyan O. P. La 10^e Conférence internationale de matériaux de construction et de silicates (IBAUCIL), 1991, Weimar (RPA)

Сдано в набор 12.11.91.

Подписано в печать 19.12.91.

Формат 60×85 1/2.

Бумага книжно-журнальная

Печать офсетная. Усл. печ. л. 3,92.

Усл. кр.-отт. 4,92. Уч.-изд. л. 5,07.

Тираж 10936 экз. Зак. 6717.

Цена 1 р. 20 к.— для индивидуальных заказчиков; 4 р.— для предприятий и организаций

Набрано на орнамент Трудового Красного Знамени Чеховском полиграфическом комбинате Министерства печати и информации Российской Федерации
142300, г. Чехов Московской области
Отпечатано в Подольском филиале
ПО «Пернодика» 142110, г. Подольск,
ул. Кирова, д. 25